

ALEXANDRE DA FONSECA VELASCO

FORMALISMO DE PRIMEIRA ORDEM E SUAS APLICAÇÕES PARA  
A QUANTIZAÇÃO CANÔNICA DA GRAVITAÇÃO

TESE DE

MESTRADO

CENTRO BRASILEIRO DE PESQUISAS FÍSICAS - CBPF / CNPq

Rio de Janeiro, 1990

- Aos meus Pais.

## AGRADECIMENTOS

Ao meu orientador Nelson Pinto Neto, por sua dedicação à minha orientação, e pelas pacientes e inúmeras revisões deste trabalho.

Aos colegas do CBPF, pela amizade e pela ajuda nos momentos difíceis do curso.

Aos professores do CBPF e da UFRJ, pelos conhecimentos que me transmitiram.

Aos funcionários da CFC, da biblioteca e do DRP, pela boa vontade com que sempre me atenderam.

A todos os funcionários do CBPF, por seu trabalho, silencioso, mas fundamental para a manutenção do ambiente agradável desta instituição.

A todos os parentes e amigos, pelos conselhos e pela força que me deram sempre.

Ao CNPq , pela bolsa concedida.

## R E S U M O

Fez-se o formalismo de primeira ordem para a gravitação de Einstein, tomando-se como variáveis canônicas independentes, o determinante da métrica  $h^{1/2}$ , a parte da métrica que possui determinante unitário, o traço da curvatura extrínseca e a parte da curvatura extrínseca que possui traço nulo. Obteve-se três representações para a equação de Wheeler-De Witt : uma delas resolve parcialmente o problema de ordenamento das variáveis canônicas; a segunda coincide com uma representação já conhecida da literatura; numa terceira, foi obtida a equação para a função de onda do universo na forma da equação de Schroedinger.

## S U M Á R I O

	pág.
AGRADECIMENTOS	iii
RESUMO	iv
LISTA DE FIGURAS	vii
UNIDADES E CONVENÇÕES	viii
 INTRODUÇÃO	 1
 CAPÍTULO 1 - FORMALISMO DE PRIMEIRA ORDEM	 7
1 A - O CAMPO ELETROMAGNÉTICO	8
1 B - FORMALISMO DE PRIMEIRA ORDEM PARA O CAMPO ELETROMAGNÉTICO	10
1 C - FORMALISMO DE PRIMEIRA ORDEM PARA O CAMPO GRAVITACIONAL	14
 CAPÍTULO 2 - FORMALISMO DE PRIMEIRA ORDEM PARA O CAMPO GRAVITACIONAL EM TERMOS DE OUTRAS VARIÁVEIS CANÔNICAS	 37
 CAPÍTULO 3 - QUANTIZAÇÃO CANÔNICA	 61
3 A - REPRESENTAÇÃO ( $\tilde{h}^{ij}$ , $\tilde{\Pi}_{ij}$ , $T$ , $E$ )	64
3 B - REPRESENTAÇÃO ( $K$ , $P$ , $\tilde{K}_{ij}$ , $\tilde{P}^{ij}$ )	76
3 C - REPRESENTAÇÃO ( $K$ , $P$ , $\tilde{h}^{ij}$ , $\tilde{\Pi}_{ij}$ )	77

CAPÍTULO 4 - CONCLUSÃO	81
APÊNDICE A - FORMALISMO HAMILTONIANO COM VÍNCULOS	85
APÊNDICE B - FORMALISMO ADM	99
BIBLIOGRAFIA	112

## LISTA DE FIGURAS

FIG.	Pág.
B.1 - Vetor de deformação $N^\alpha$ e suas componentes $N$ e $N^i$ na base $\{ n^\alpha, X_\alpha^\alpha \}$ .....	101
B.2.a - Uma superfície bi-dimensional de curvaturas intrínseca e extrínseca nulas.....	105
B.2.c - Uma superfície bi-dimensional de curvatura intrínseca nula e curvatura extrínseca diferente de zero.....	105
B.3 - Transporte paralelo do vetor normal à hipersuperfície $\Sigma$ .....	106

## CONVENÇÕES

- Dimensão do espaço-tempo:  $d$ .
- Índices gregos variam de 0 a  $d - 1$ .
- Índices latinos variam de 1 a  $d - 1$ .
- Métrica do espaço-tempo:  $g^{\mu\nu}$ .
- Métrica do espaço de  $d - 1$  dimensões:  $h^{ij}$ .
- Derivada covariante no espaço-tempo:

$$v^\mu_{;\nu} = v^\mu_{,\nu} + \Gamma^\mu_{\rho\nu} v^\rho$$

onde  $v^\mu_{,\nu} = \frac{\partial v^\mu(x^\rho)}{\partial x^\nu}$  e  $\Gamma^\mu_{\rho\nu} = g^{\mu\lambda} (g_{\lambda\rho,\nu} + g_{\lambda\nu,\rho} - g_{\nu\rho,\lambda})$

- Derivada covariante no espaço de  $d - 1$  dimensões:

$$v^i_{,j} = v^i_{,j} + \Gamma^i_{aj} v^a$$

onde  $v^i_{,j} = \frac{\partial v^i(x^b)}{\partial x^j}$  e  $\Gamma^i_{aj} = h^{ib} (h_{ba,j} + h_{bj,a} - h_{aj,b})$

- Tensor de curvatura no espaço-tempo:

$$R^\mu_{\nu\alpha\rho} = \Gamma^\mu_{\nu\rho,\alpha} - \Gamma^\mu_{\nu\alpha,\rho} + \Gamma^\mu_{\sigma\alpha} \Gamma^\sigma_{\nu\rho} - \Gamma^\mu_{\sigma\rho} \Gamma^\sigma_{\nu\alpha}$$

- Tensor de Ricci no espaço-tempo:

$$R_{\mu\nu} = R^\alpha_{\mu\alpha\nu}$$

- Escalar de curvatura no espaço-tempo:

$$R = g^{\mu\nu} R_{\mu\nu}$$

- Tensor de curvatura nas hipersuperfícies do tipo espaço de  $d - 1$  dimensões:

$$\tilde{R}^i_{jkl} = \Gamma^i_{jl,k} - \Gamma^i_{jk,l} + \Gamma^i_{ak} \Gamma^a_{jl} - \Gamma^i_{al} \Gamma^a_{jk}$$

- Tensor de Ricci nas hipersuperfícies do tipo espaço de  $d - 1$  dimensões:  
 $\tilde{R}_{ij} = \tilde{R}^\alpha_{\phantom{\alpha}iaj}$
- Escalar de curvatura nas hipersuperfícies do tipo espaço de  $d - 1$  dimensões:  
 $\tilde{R} = h^{ij} \tilde{R}_{ij}$
- $g = \det g_{\mu\nu}$
- $h = \det h_{ij}$
- Assinatura da métrica:  $(-, \underbrace{+, +, +, \dots}_{d - 1})$
- $\kappa = 1$

## INTRODUÇÃO

As atuais observações cosmológicas indicam que o universo é homogêneo, isotrópico e está se expandindo<sup>[1]</sup>. Estas informações, associadas às equações de Einstein da gravitação<sup>[2]</sup>, exigem que o universo, há cerca de 15 bilhões de anos atrás, estivesse todo concentrado num único ponto<sup>[3]</sup>. Nesse ponto, chamado de singularidade cósmica ou "big bang", nenhuma teoria física deve ser válida. Pensa-se no entanto, como o próprio Einstein sugeriu<sup>[4]</sup>, que haveria um limite de validade da Teoria da Relatividade Geral (T.R.G). Fora deste limite os efeitos quânticos devidos à alta densidade de matéria e energia (da ordem de  $10^{94} \text{ g/cm}^3$ ), influenciariam a interação gravitacional. Isto exigiria a formulação de uma teoria quântica da gravitação. Tal teoria, que governaria a dinâmica do universo nos seus primórdios, poderia ditar o seu desvio da singularidade e talvez

explicar algumas de suas atuais características, tais quais as citadas no inicio deste parágrafo.

A formulação de uma teoria quântica da gravitação tem sido objeto de intensa pesquisa durante a segunda metade deste século, sem que se tenha chegado a um resultado satisfatório<sup>[5]</sup>; o que indica que alguns dos princípios básicos da mecânica quântica e/ou da T.R.G devam ser modificados de forma a torná-las compatíveis.

Existem duas linhas de pesquisa em gravitação quântica: uma delas, a dos físicos de partículas, que busca a construção de uma matriz S renormalizável que descreveria a interação dos grávitons com eles mesmos, e com outros campos de matéria presentes,<sup>[6]</sup> é conhecida como método covariante; a outra com ênfase na geometria, topologia e estrutura do espaço-tempo, é conhecida como método canônico. O principal problema da primeira linha é que a T.R.G não é renormalizável<sup>[7]</sup>.

Nesse trabalho não se seguirá a linha do método covariante, mas sim, a do método canônico.

O método de quantização canônica consiste em colocar a teoria clássica na forma Hamiltoniana, identificando seus pares de variáveis canônicas (coordenadas e momenta canônicos) e calculando seus parênteses de Dirac (ou simplesmente parenteses de Poisson, no caso de sistemas regulares), em seguida associar estes pares de variáveis canônicas a operadores e seus parênteses de Dirac (Poisson) a comutadores destes operadores quânticos. A substituição destes operadores quânticos no lugar das variáveis canônicas na Hamiltoniana deve resultar na obtenção da equação de Schroedinger cujas soluções pertencem a um espaço de Hilbert

no qual a interpretação probabilística da teoria quântica está baseada.

A característica especial da gravitação, e de qualquer teoria que seja invariante por reparametrização do tempo, é que elas não levam a uma Hamiltoniana, mas somente a vínculos Hamiltonianos<sup>(9)</sup>. Isto porém não tira todas as esperanças de se ver a teoria da gravitação quântizada. Deve-se ter em conta que os vínculos podem possuir importantes significados físicos. De fato, quando é feita a formulação Hamiltoniana para o campo eletromagnético, um dos vínculos obtidos é nada menos do que a bem conhecida lei de Gauss.

Diferentemente das teorias de Yang-Mills, onde os vínculos geram transformações canônicas que correspondem a rotações no espaço interno da teoria, segundo as quais os observáveis físicos permanecem inalterados, na T.R.G. o espaço "interno" corresponde ao próprio espaço-tempo e, sendo assim, as transformações canônicas geradas pelos vínculos correspondem a movimentos no espaço-tempo físico, estando, portanto, interligados com a dinâmica da teoria<sup>(9,10)</sup>.

Sendo a Hamiltoniana da T.R.G. nula, a equação de Schrödinger reduz-se à:

$$i \frac{\partial \Psi}{\partial t} = H \Psi = 0 \quad (I.1)$$

Vê-se portanto que  $\Psi$  é função só de  $h_{ij}$ , a métrica das hipersuperfícies tipo-espacó que folheiam o espaço-tempo (ver apêndice B), e não do tempo  $t$ . Assim a dinâmica está reduzida às equações de vínculos:

$$\mathcal{X}_\mu \Psi = 0 \quad (I.2)$$

Uma das dificuldades com as equações de vínculos é saber o que fará o papel do tempo nelas. A equação de

Wheeler-De Witt<sup>(11,12)</sup>, que provém do vínculo Hamiltoniano:

$$\mathcal{L}_0 \Psi = ( G^{ijkl} \Pi_{ij} \Pi_{kl} + R ) \Psi = 0 \quad (I.3)$$

é uma equação diferencial funcional com relação às métricas  $h^{ij}$

$$G^{ijkl} \frac{\partial^2 \Psi}{\partial h^{ij} \partial h^{kl}} - R \Psi = 0 \quad (I.4)$$

onde a expressão de  $G^{ijkl}$  é:

$$G^{ijkl} = \frac{1}{2} h^{-1/2} [ h^{ik} h^{jl} + h^{il} h^{jk} - \frac{2}{(d-2)} h^{ij} h^{kl} ] \quad (I.5)$$

e  $\Pi_{ij}$  é o momento canonicamente conjugado à métrica  $h^{ij}$ .

Ao se estudar a assinatura de  $G^{ijkl}$  verifica-se que ela tem uma coordenada tipo tempo no espaço das métricas (superespaço)<sup>(11,12)</sup>. A procura das componentes da métrica que fazem o papel desta coordenada pode ser facilitada pelo estudo de novas representações da equação de Wheeler-De Witt.

Outro problema, relacionado à construção do espaço de Hilbert<sup>(8)</sup>, é que, apesar de sua semelhança com a equação de Klein-Gordon, o que faz o papel de potencial na equação de Wheeler-De Witt é a curvatura intrínseca  $R$  (ver apêndice B), que é uma expressão muito complicada das métricas, além de não ser em geral positivamente definido. Quanto a este último problema, outras representações podem apontar para um outro caminho para a sua solução.

Resta lembrar que existe um problema de ordenamento na obtenção da equação (I.4) nas representações das métricas, já que, em (I.3),  $h^{ij}$  não comuta com  $\Pi_{kl}$  e, portanto, vários ordenamentos são possíveis.

Como se não bastasse todos os motivos acima expostos para a

busca de novas representações, acrescenta-se ainda que elas podem trazer novas informações a respeito da evolução do universo. Por exemplo,  $\Psi$  pode ser um funcional da curvatura extrínseca  $k_{ij}$ , como foi sugerido em [13]:

$$\Psi = \Psi(k_{ij}) \quad (I.6)$$

e fornecer, por intermédio da conexão de  $k_{ij}$  com a expansão do universo, informações a respeito da probabilidade do universo estar se expandindo ou se contraindo.

Nesta tese pretende-se aplicar o formalismo de primeira ordem para a gravitação, na busca de novas representações da equação de Wheeler-De Witt e na solução de seus problemas, acima relacionados. Ela está dividida da seguinte maneira:

No capítulo 1 é discutido o formalismo de primeira ordem através de dois exemplos: o campo eletromagnético<sup>[4]</sup> e o gravitacional. No primeiro deles, começa-se por apresentar o formalismo de segunda ordem, mostrando a equivalência entre os dois formalismos. O segundo é extraído de um trabalho de M. Gleiser, R. Holman e N. P. Neto<sup>[13]</sup>, onde o formalismo de primeira ordem para a gravitação possibilita a obtenção de novas representações para a equação de Wheeler-De Witt.

No capítulo 2 começa a parte original deste trabalho. Através do formalismo de primeira ordem para a gravitação, tomando-se um número maior de variáveis canônicas independentes do que o tomado anteriormente, aplica-se o método de Dirac<sup>[9,10,14]</sup> e mostra-se que o formalismo Hamiltoniano ali obtido fornece as equações de Einstein. Depois constroi-se os parênteses de Dirac, transformando os vínculos de segunda classe em identidades fortes, e possibilitando a escolha de várias representações para o vínculo

super-hamiltoniano.

No capítulo 3 é aplicado o método de quantização canônica obtendo-se outras representações para a equação de Wheeler-De Witt. Numa delas é resolvido parcialmente o problema de ordenamento das variáveis canônicas, outra é igual a obtida por (3), e, numa terceira, obtém-se a equação de Wheeler-De Witt na forma da equação de Schrödinger.

O apêndice A apresenta, de forma geral, o formalismo Hamiltoniano com vínculos. Ele foi desenvolvido para  $d = 4$ , mas pode ser generalizado para  $d > 4$ .

O apêndice B apresenta o formalismo ADM<sup>(8,15,16)</sup> para  $d = 4$ , podendo também ser generalizado para  $d > 4$ .

## CAPÍTULO 1

### FORMALISMO DE PRIMEIRA ORDEM

Este capítulo começa com a apresentação do formalismo de segunda ordem para o campo eletromagnético, que é bastante bem conhecido. Na seção seguinte é feita uma apresentação mais breve do formalismo de primeira ordem para o mesmo campo, de modo que os dois tratamentos possam ser comparados. Por fim faz-se uma revisão do artigo de Gleiser, Holmam e Neto<sup>[13]</sup>, onde é feito o formalismo de primeira ordem para o campo gravitacional, obtendo-se novas representações da equação de Wheeler-De Witt. A compreensão desta seção 2.C é o último passo necessário antes de se iniciar a leitura da parte original deste trabalho, que é apresentada nos capítulos 3 e 4.

## 1A - O CAMPO ELETROMAGNETICO:

A ação para o campo eletromagnético<sup>(17)</sup> no vácuo é dada por:

$$S = - \frac{1}{4} \int d^4x F_{\mu\nu} F^{\mu\nu} \quad (1.1)$$

Levando-se em conta a seguinte dependência entre as variáveis do campo  $A_\nu$  e  $F^{\mu\nu}$ :

$$F_{\mu\nu} = \partial_\mu A_\nu - \partial_\nu A_\mu \quad (1.2),$$

varia-se então a ação (1.1) na variável  $A_\mu$  obtendo-se as equações de Maxwell:

$$\partial_\mu F^{\mu\nu} = 0 \quad (1.3)$$

Os momenta canonicamente conjugados aos campos  $A_\mu$  são:

$$\Pi^\mu \equiv \frac{\partial \mathcal{L}}{\partial \dot{A}_\mu} = - F^{0\mu} \quad (1.4)$$

Destes quatro momenta  $\Pi^\mu$ , os três  $\Pi^i$  podem ser invertidos para os  $\dot{A}^i$ :

$$\dot{A}^i = - \Pi^i + \partial^i A^0 \quad (1.5),$$

e o único vínculo será:

$$\Pi^0 \approx 0 \quad (1.6)$$

A densidade Lagrangeana pode ser escrita como:

$$\mathcal{L} = \frac{1}{2} \Pi^i \Pi_i - \frac{1}{4} F_{ik} F^{ik} \quad (1.7),$$

e a Hamiltoniana canónica é calculada da maneira indicada no apêndice A , resultando em:

$$H_C = \frac{1}{2} \int d^3x (\Pi^i \Pi_i + \Pi^i \partial_i A_0 + \frac{1}{4} F^{ik} F_{ik}) \quad (1.8),$$

ou, após uma integração por partes, em:

$$H_C = \int d^3x (\frac{1}{2} \Pi^i \Pi_i - A_0 \partial_i \Pi^i + \frac{1}{4} F^{ik} F_{ik}) \quad (1.9)$$

A Hamiltoniana total  $H_T$  é obtida adicionando-se à Hamiltoniana canónica  $H_C$ , uma combinação dos vínculos  $\Pi^0(x)$  de cada um dos infinitos pontos do campo:

$$H_T = H_C + \int d^3x u(x) \Pi^0(x) \quad (1.10)$$

A condição de consistência do vínculo primário  $\Pi^0$  é:

$$\{\Pi^0, H_T\} = \{\Pi^0, H_C\} = \int d^3x' \{\Pi^0, -A'_0 \partial'_i \Pi'^i\} =$$

$$\begin{aligned}
 &= - \int d^3x' \partial_i^\ast \Pi^{ij} \{ \Pi^0, A_o^j \} = + \int d^3x' \partial_i^\ast \Pi^{ij} \delta^3(x-x') = \\
 &= + \partial_i \Pi^i \approx 0
 \end{aligned} \tag{1.11}$$

Ela nos leva ao vínculo secundário:

$$\partial_i \Pi^i \approx 0 \tag{1.12}$$

Note que este vínculo secundário nada mais é do que a lei de Gauss. Sua condição de consistência não leva a nenhum outro vínculo.

Os dois únicos vínculos  $\Pi^0$  e  $\partial_i \Pi^i$  são de primeira classe, pois os parênteses de Poisson entre eles são nulos:

$$\{ \Pi^0, \partial_i \Pi^i \} = 0 \tag{1.13}$$

## 1.B - FORMALISMO DE PRIMEIRA ORDEM PARA O CAMPO ELETROMAGNETICO

No formalismo de primeira ordem, que trata as variáveis  $A_\nu$  e  $F^{\mu\nu}$  (que é antissimétrica nos índices  $\mu$  e  $\nu$ ) como independentes, reescreve-se a ação (1.1) como:

$$S = - \frac{1}{2} \int d^4x (\partial_\mu A_\nu - \partial_\nu A_\mu) F^{\mu\nu} + \frac{1}{4} \int d^4x F^{\mu\nu} F_{\mu\nu} \tag{1.14}$$

Sua variação em relação às variáveis  $A_\nu$  e  $F^{\mu\nu}$  levam respectivamente às equações:

$$\partial_\mu F^{\mu\nu} = 0 \quad (1.15.a)$$

$$F_{\mu\nu} = \partial_\mu A_\nu - \partial_\nu A_\mu \quad (1.15.b)$$

Obtem-se assim na, equação (1.15.b), a relação de dependência entre  $A_\nu$  e  $F_{\mu\nu}$ , que tinha sido ignorada.

Os momenta canonicamente conjugados às variáveis  $A_\mu$  e  $F_{\mu\nu}$  são respectivamente:

$$\Pi^\mu \equiv \frac{\partial \mathcal{L}}{\partial \dot{A}_\mu} = F^{\mu 0} \quad (1.16.a)$$

e

$$\Pi^{\mu\nu} \equiv \frac{\partial \mathcal{L}}{\partial \dot{F}_{\mu\nu}} = 0 \quad (1.16.b)$$

Tem-se portanto "dez" vínculos primários:

$$\phi^\mu \equiv \Pi^\mu - F^{\mu 0} \approx 0 \quad (1.17)$$

$$\phi^{\mu\nu} \equiv \Pi^{\mu\nu} \approx 0 \quad (1.18)$$

Já que a teoria tratada aqui é a mesma que foi tratada na seção anterior no formalismo de segunda ordem, deve-se esperar que haja também somente dois vínculos de primeira classe, pois estes estão associados a arbitrariedades de calibre.

As Hamiltonianas canônica e total são respectivamente:

$$H_C = \int d^3x [(\partial_\mu A_\nu) F^{\mu\nu} - \frac{1}{4} F^{\mu\nu} F_{\mu\nu}] \quad (1.19)$$

e

$$H_T = H_C + \int d^3x (u_{1\mu} \phi^\mu(x) + u_{2\mu\nu} \Pi^{\mu\nu}(x)) \quad (1.20)$$

A condição de consistência do vínculo primário  $\phi^\mu$  é:

$$\{H_T, \phi^\mu\} = 0 \quad (1.21),$$

mas tem-se:

$$\begin{aligned} \{H_T, \phi^\mu\} &= \left\{ \int d^3x [(\partial_\mu A_\nu) F^{\mu\nu} - \frac{1}{4} F_{\alpha\beta} F^{\alpha\beta}], (\Pi^\mu - F^{\mu 0}) \right\} + \\ &\quad + \left\{ \int d^3x (u_{1\mu} \phi^\mu + u_{2\mu\nu} \Pi^{\mu\nu}), (\Pi^\mu - F^{\mu 0}) \right\} = \\ &= \int d^3x [F^{\mu\alpha} \{\partial_\mu A_\alpha, \Pi^\mu\} + u_{2\alpha\beta} \{\Pi^{\alpha\beta}, F^{\mu 0}\}] \end{aligned} \quad (1.22)$$

Somente a componente  $\phi^0$  levará a vínculos secundários. As demais componentes levam a equações envolvendo os multiplicadores  $u_2$ .

$$\begin{aligned} \{H_T, \phi^0\} &= \int d^3x F^{i\alpha} \partial_i (\delta_\alpha^0 \delta^3(x-x)) = \\ &= \int d^3x \partial_i (F^{i0} \delta^3(x-x)) - \int d^3x \partial_i (F^{i\alpha}) \delta_\alpha^0 \delta^3(x-x) = \\ &= - \partial_i F^{i0} \approx 0 \end{aligned} \quad (1.23)$$

De forma semelhante, a condição de consistência dos vínculos primários  $\phi^k$  leva aos vínculos secundários:

$$F^{ik} = (\partial^k A^i - \partial^i A^k) \approx 0 \quad (1.24)$$

Estes vínculos secundários serão denotados por:

$$\chi^0 \equiv -\partial_i F^{i0} \approx 0 \quad (1.25.a)$$

e

$$\chi^{ik} \equiv F^{ik} - (\partial^k A^i - \partial^i A^k) \approx 0 \quad (1.25.b)$$

A condição de consistência deles não leva a nenhum outro vínculo.

É fácil verificar que os únicos vínculos que apresentam parênteses de Poisson nulos com todos os demais vínculos, são:

$$\phi^0 = \Pi^0 \approx 0 \quad (1.26.a)$$

e

$$\chi^0 = \partial_i \Pi^i \approx 0 \quad (1.26.b)$$

Estes são os vínculos de primeira classe; os vínculos restantes são de segunda classe:

$$\phi^i \equiv \Pi^i - F^{i0} \approx 0 \quad (1.26.c)$$

$$\chi^{ik} \equiv F^{ik} - (\partial^k A^i - \partial^i A^k) \approx 0 \quad (1.26.d)$$

$$\phi^{\mu\nu} \equiv \Pi^{\mu\nu} \approx 0 \quad (1.26.e)$$

De fato, lembrando que  $\Pi^{\mu\nu}$  e  $F^{\mu\nu}$  são conjugados canônicos, pode-se perceber sem fazer cálculos que os parênteses de Poisson

entre os  $\pi^{\mu}$ ,  $\dot{\varphi}^{\lambda}$  e  $\dot{\varphi}^{\mu\nu}$ , são diferentes de zero. Estes resultados confirmam a expectativa de se ter apenas dois vínculos de primeira classe, que são inclusive os mesmos  $\Pi^0 \approx 0$  e  $\delta_i \Pi^i \approx 0$ .

A existência de vínculos de segunda classe possibilita a construção dos parênteses de Dirac, que os converte em igualdades fortes, tornando o formalismo de primeira ordem equivalente ao de segunda ordem.

## 1.C - FORMALISMO DE PRIMEIRA ORDEM PARA O CAMPO GRAVITACIONAL:

A ação de Einstein-Hilbert para um campo gravitacional no vácuo é:

$$S = \int d^d x (-g)^{1/2} R \quad (1.27),$$

onde o número de dimensões  $d$  do espaço-tempo é arbitrário.

A variação de (1.27) nas componentes do tensor métrico  $g^{\mu\nu}$  leva às equações de Einstein do campo gravitacional, que são equações diferenciais de segunda ordem com relação à métrica:

$$R^{\mu\nu} = 0 \quad (1.28)$$

Tem-se por objetivo obter a forma canônica dessas equações, que devem apresentar as seguintes propriedades:

(1) Devem ser resolvidas explicitamente para as derivadas temporais.

(2) Devem ser equações de primeira ordem.

A primeira propriedade pode ser obtida pela adoção do formalismo ADM (ver apêndice A). A segunda, pela consideração das componentes da conexão  $\Gamma_{\mu\nu}^{\rho}$  como independentes dos  $g^{\mu\nu}$  (Palatini).

Utilizando os resultados do apêndice A pode-se escrever a ação s da seguinte maneira:

$$S = \int d^d x h^{1/2} [-2h^{ij}\dot{k}_{ij} - \dot{h}^{ij}k_{ij} + N(\tilde{R} + k^2 - k_{ij}k^{ij}) - \\ - 2N^i(k^j - \delta^j_i k)_{,j} - 2(N_i - k_{ij}N^j)^{,i}] \quad (1.29)$$

Onde  $h \equiv \det h_{ij}$ ,  $h_{ij}$  é a métrica da hipersuperfície tipo espaço de dimensão  $d-1$ ,  $\tilde{R}$  a curvatura intrínseca,  $k_{ij}$  a curvatura extrínseca,  $N$  é a função lapse, e  $N^i$  é a função shift.

Agora as variáveis tomadas como independentes são  $h^{ij}$  e  $k_{ij}$ . As relações da conexão com o tensor métrico, na linguagem ADM, podem ser escritas como:

$$\dot{h}^{ij} = 2Nk^{ij} - N^{i,j} - N^{j,i} \quad (1.30)$$

Integrando-se o primeiro termo de (1.29) por partes e substituindo nessa ação as relações acima, chega-se à ação familiar do tratamento de segunda ordem:

$$I = -2 \int d^{d-1}x h^{1/2} k + \int d^d x N h^{1/2} (\tilde{R} - k^2 + k_{ij}k^{ij}) \quad (1.31),$$

à qual é preciso adicionar o termo de superfície:

$$2 \int_{\bullet} d^{d-1}x h^{1/2} k$$

de modo que sua variação com respeito a  $h^{ij}$  dê as equações de Einstein.

Dando inicio ao desenvolvimento do formalismo Hamiltoniano de primeira ordem, calcula-se primeiramente os momenta conjugados às variáveis  $N$ ,  $N^i$ ,  $h^{ij}$  e  $k_{ij}$ :

$$\Pi \equiv \frac{\partial \mathcal{L}}{\partial \dot{N}} = 0 \quad (1.32.a)$$

$$\Pi^i \equiv \frac{\partial \mathcal{L}}{\partial \dot{N}_i} = 0 \quad (1.32.b)$$

$$\Pi_{ij} \equiv \frac{\partial \mathcal{L}}{\partial \dot{h}_{ij}} = - h^{1/2} k_{ij} \quad (1.32.c)$$

$$\Pi^{ij} \equiv \frac{\partial \mathcal{L}}{\partial \dot{k}_{ij}} = - 2 h^{1/2} h^{ij} \quad (1.32.d)$$

Através destas relações não é possível expressar nenhuma das "velocidades" em função das variáveis canônicas e de seus momenta canonicamente conjugados. Obtem-se somente os vínculos primários apresentados abaixo:

$$\Pi \approx 0 \quad (1.33.a)$$

$$\Pi^i \approx 0 \quad (1.33.b)$$

$$\phi_{ij}^i \equiv \Pi_{ij} + h^{1/2} k_{ij} \approx 0 \quad (1.33.c)$$

$$\phi^{zij} \equiv P^{ij} + 2 h^{1/2} h^{ij} \approx 0 \quad (1.33.d)$$

Estes, utilizados de acordo com a regra apresentada no apêndice A, e já exemplificada nas seções anteriores deste presente capítulo, levam à seguinte Hamiltoniana canônica:

$$H_C = \int d^{d-1}x h^{1/2} [ -N\tilde{R} + k^2 - k_{ij} k^{ij} ] + zN^i (k_i^j - \delta_i^j k_{ij}) \quad (1.34)$$

A Hamiltoniana total é então:

$$H_T = H_C + \int d^{d-1}x h^{1/2} [ \lambda^{ij} (\Pi_{ij} + h^{1/2} k_{ij}) + \omega_{ij} (P^{ij} + z h^{1/2} h^{ij}) + \lambda_i \Pi^i + \lambda_l \Pi^l ] \quad (1.35)$$

onde  $\lambda$ ,  $\lambda_i$ ,  $\lambda^{ij}$  e  $\omega_{ij}$  são os multiplicadores de Lagrange.

Os únicos parênteses de Poisson entre as variáveis canônicas, diferentes de zero, são:

$$\{h^{ij}(x), \Pi_{kl}(y)\} = \frac{1}{2} (\delta_l^i \delta_k^j + \delta_k^i \delta_l^j) \delta^{d-1}(x-y) \quad (1.36.a)$$

$$\{k_{ij}(x), P^{kl}(y)\} = \frac{1}{2} (\delta_i^k \delta_j^l + \delta_j^k \delta_i^l) \delta^{d-1}(x-y) \quad (1.36.b)$$

$$\{N^{ij}(x), \Pi_{kl}(y)\} = \delta_{kl}^i \delta_{ij}^{d-1}(x-y) \quad (1.36.c)$$

$$\{N^i(x), \Pi_j(y)\} = \delta_{ij}^i \delta^{d-1}(x-y) \quad (1.36.d)$$

Com eles podemos verificar a condição de consistência para os vínculos primários:

$$\{H_T, \Pi\} \approx \{H_T, \Pi'\} \approx \{H_T, \phi_{ij}^1\} \approx \{H_T, \phi^{2ij}\} \approx 0 \quad (1.37)$$

Os dois primeiros (1.33.a) e (1.33.b) levam a vínculos secundários:

$$H_0 \equiv - h^{1/2} (\tilde{R} + k^2 - k_{ab} k^{ab}) \approx 0 \quad (1.38.a)$$

$$H_i \equiv z h^{1/2} (k_i^j - \delta_i^j k_{jj}) \approx 0 \quad (1.38.b)$$

Nota-se então que  $H_T$  é também um vínculo:

$$H_T \approx 0 \quad (1.38.c)$$

como se esperaria de uma teoria invariante por transformações gerais dos sistemas de coordenadas.

Antes da verificação dos dois últimos (1.33.c) e (1.33.d), é conveniente calcular, com o auxílio das equações (1.36.a) e (1.36.b), alguns outros parenteses de Poisson:

$$\begin{aligned} \{H_0, \phi_{ij}^1\} &= \{-h^{1/2} (\tilde{R} + k^2 - k_{ab} k^{ab}), (\Pi_{ij}' + h^{1/2} k_{ij}')\} = \\ &= -h^{1/2} \{\tilde{R}, \Pi_{ij}'\} - h^{1/2} \{(h^{ab} k_{ab})^2, \Pi_{ij}'\} + \\ &+ h^{1/2} \{k_{ab} k^{ab}, \Pi_{ij}'\} - \{h^{1/2}, \Pi_{ij}'\} (\tilde{R} + k^2 - k_{ab} k^{ab}) = \\ &= -h^{1/2} \{\tilde{R}, \Pi_{ij}'\} - \frac{1}{2} h^{1/2} k k_{ij} \delta^d_{(x-x)} + \\ &+ z h^{1/2} k_{ai} k^a_{ij} \delta^d_{(x-x)} - \frac{1}{2} h_{ij} H_0 \delta^d_{(x-x)} \quad (1.39) \end{aligned}$$

onde a notação com linha significa por exemplo:

$$\bar{\Pi}_{ij} \equiv \overline{\Pi_{ij}(x)}$$

O primeiro termo será calculado separadamente.

Lembre-se que:

$$\{\tilde{R}, \bar{\Pi}_{ij}\} = \int d^3z \frac{\partial \tilde{R}(x)}{\partial h^{kp}_{(2)}} \frac{\partial \bar{\Pi}_{ij}(x)}{\partial \bar{h}_{kp}(z)} \quad (1.40)$$

A variação de  $\tilde{R}$  em  $h^{ab}$  é:

$$\delta\tilde{R} = \delta h^{ab} \tilde{R}_{ab} + h^{ab} \delta\tilde{R}_{ab} \quad (1.41)$$

onde:

$$\begin{aligned} \delta\tilde{R}_{ab} &= (\delta\Gamma^l_{ab})_l - (\delta\Gamma^l_{al})_b + \delta\Gamma^l_{lm} \Gamma^m_{ab} + \Gamma^l_{lm} \delta\Gamma^m_{ab} = \\ &= -\delta\Gamma^l_{bm} \Gamma^m_{al} - \Gamma^l_{bm} \delta\Gamma^m_{al} \end{aligned} \quad (1.42)$$

Restringindo-se sistema de coordenadas onde  $\Gamma^a_{bc} = 0$ , tem-se:

$$\delta\tilde{R}_{ab} = (\delta\Gamma^l_{ab})_l - (\delta\Gamma^l_{al})_b \quad (1.43)$$

Esta é uma identidade covariante, ou seja, tem a mesma forma independentemente do sistema de coordenadas. A equação (1.43) vale portanto também para sistemas de coordenadas onde  $\Gamma^a_{bc} \neq 0$ :

Usando as equações (1.41) e (1.43), tem-se:

$$\delta \tilde{R} = \delta h^{ab} \tilde{R}_{ab} + h^{ab} (\delta \Gamma^l_{ab})_{,l} - h^{ab} (\delta \Gamma^l_{ab})_{,b} \quad (1.44)$$

A expressão para  $\Gamma^l_{ab}$  em termos de  $h^{ij}$  é:

$$\Gamma^l_{ab} = \frac{1}{2} h^{li} (h_{ia,b} + h_{ib,a} - h_{ab,i}) \quad (1.45)$$

Substituindo-a em (1.44), obtém-se:

$$\begin{aligned} \delta \Gamma^l_{ab} &= \frac{1}{2} h^{li} (h_{ia,b} + h_{ib,a} - h_{ab,i}) + \\ &+ \frac{1}{2} [(\delta h_{ia})_{,b} + (\delta h_{ib})_{,a} - (\delta h_{ab})_{,i}] \end{aligned} \quad (1.46)$$

Restringindo-se novamente a um sistema de coordenadas

onde  $\Gamma^l_{ab} = 0$ , as derivadas tornam-se covariantes, consequentemente os três primeiros termos são nulos, e a expressão resultante, que é covariante, vale para qualquer sistema de coordenadas:

$$\delta \Gamma^l_{ab} = \frac{1}{2} h^{li} [(\delta h_{ia})_{,b} + (\delta h_{ib})_{,a} - (\delta h_{ab})_{,i}] \quad (1.47)$$

Substituindo (1.47) e (1.44) em (1.41),  $\delta R$  fica:

$$\delta \tilde{R} = \delta h^{ab} \tilde{R}_{ab} + \frac{1}{2} h^{ab} h^{li} [(\delta h_{ia})_{,b/l} + (\delta h_{ib})_{,a/l} - (\delta h_{ab})_{,i/l}] -$$

$$-\frac{1}{2} h^{ab} h^{li} [(\delta h_{ia})_{l/b} + (\delta h_{il})_{a/b} - (\delta h_{ai})_{l/b}] \quad (1.48)$$

Então:

$$\begin{aligned} \frac{\partial \tilde{R}}{\partial h^{kp}} &= \frac{\partial h^{ab}}{\partial h^{kp}} \tilde{R}_{ab} + \\ &+ \frac{1}{2} h^{ab} h^{li} \left[ h_{im} h_{an} \left( \frac{\partial h^{mn}}{\partial h^{kp}} \right)_{l/b} + h_{im} h_{ln} \left( \frac{\partial h^{mn}}{\partial h^{kp}} \right)_{a/l} - h_{am} h_{ln} \left( \frac{\partial h^{mn}}{\partial h^{kp}} \right)_{l/a} \right] - \\ &- \frac{1}{2} h^{ab} h^{li} \left[ h_{im} h_{an} \left( \frac{\partial h^{mn}}{\partial h^{kp}} \right)_{l/b} + h_{im} h_{ln} \left( \frac{\partial h^{mn}}{\partial h^{kp}} \right)_{a/b} - h_{am} h_{ln} \left( \frac{\partial h^{mn}}{\partial h^{kp}} \right)_{l/b} \right] = \\ &= \tilde{R}_{kp} \delta^{d-1}(x-x') + \delta^{d-1}(x-x')_{k/p} - h^{il} h_{kp} \delta^{d-1}(x-x')_{l/l} \end{aligned} \quad (1.49)$$

Finalmente já é possível calcular os parênteses de Poisson entre  $\tilde{R}$  e  $\Pi_{ij}$ :

$$\begin{aligned} \{\tilde{R}, \Pi_{ij}\} &= \int d^{d-1}z [ \frac{1}{2} (\delta_i^k \delta_j^p + \delta_j^k \delta_i^p) \delta^{d-1}(x-z) \times \\ &\times [\tilde{R}_{kp} \delta^{d-1}(x-z) + \delta^{d-1}(x-z)_{k/p} - h^{nl} h_{kp} \delta^{d-1}(x-z)_{n/l}] = \\ &= \tilde{R}_{ij} \delta^{d-1}(x-x') + \delta^{d-1}(x-x')_{i/j} - h^{nl} h_{ij} \delta^{d-1}(x-x')_{n/l} \end{aligned} \quad (1.50)$$

O resultado final para o cálculo dos parênteses de Poisson entre  $H_0$  e  $\phi_{ij}^{-1}$  é:

$$\begin{aligned} \{H_0, \phi_{ij}^{-1}\} &= -\frac{1}{2} H_0 h_{ij} \delta^{d-1}(x-x') - \\ &- h^{1/2} [ h_{ij} h^{cd} \delta^{d-1}(x-x')_{c/d} - \delta^{d-1}(x-x')_{i/j} + \end{aligned}$$

$$+ (\tilde{R}_{ij} + 2k_{ij} - 2k^k_{ij} k_{kj}) \delta^{d-1}(x-x')] \quad (1.51)$$

Agora o cálculo dos parênteses de Poisson entre  $H_i$  e  $\phi_{ij}^i$ :

$$\{H_i, \phi_{kl}^i\} = \{H_i, \Pi'_{kl}\} = \int d^{d-1}x'' \frac{\partial H_i}{\partial h''^{uv}} \frac{\partial \Pi'_{kl}}{\partial h''^{uv}} \quad (1.52)$$

Calcula-se então a variação de  $H_i$  em  $h^{ij}$ :

$$\begin{aligned} \delta H_i &= - (k_i^j - \delta_i^j k)_{,j} \delta h^{1/2} - h^{1/2} \delta [(k_i^j - \delta_i^j k)_{,j}] = \\ &= - (k_i^j - \delta_i^j k)_{,j} \delta h^{1/2} - h^{1/2} k_{in,j} \delta h^{nj} + h^{1/2} k_{mn,i} \delta h^{mn} - \\ &\quad - h^{1/2} h^{nj} \delta (k_{in,j}) + h^{1/2} h^{mn} \delta (k_{mn,i}) \end{aligned} \quad (1.53)$$

As variações  $\delta(k_{mn,i})$  e  $\delta(k_{in,j})$  serão calculadas separadamente:

Sabe-se que:

$$k_{mn,i} = k_{mn,i} - k_{an} \Gamma_{mi}^a - k_{ma} \Gamma_{ni}^a \quad (1.54)$$

Então tem-se:

$$\begin{aligned} \delta(k_{mn,i}) &= - k_{an} \delta \Gamma_{mi}^a - k_{ma} \delta \Gamma_{ni}^a = \\ &= - \frac{1}{2} k_{an} [\delta h^{ab} (h_{bm,i} + h_{bi,m} - h_{mi,b}) + \end{aligned}$$

$$\begin{aligned}
 & + h^{ab} [(\delta h_{bm})_{,i} + (\delta h_{bi})_{,m} - (\delta h_{mi})_{,b}] - \\
 & - \frac{1}{2} k_{ma} [ \delta h^{ab} (h_{bn,i} + h_{bi,n} - h_{ni,b}) + \\
 & + h^{ab} [(\delta h_{bn})_{,i} + (\delta h_{bi})_{,n} - (\delta h_{ni})_{,b}] \quad (1.55)
 \end{aligned}$$

Da mesma forma como já foi feito por duas vezes no cálculo de  $\{\tilde{R}_{ij}\}$ , consideram-se as conexões  $\Gamma_{kl}^i$  nulas. A equação (1.55) fica:

$$\begin{aligned}
 \delta(k_{mn,i}) = & - \frac{1}{2} k_{an} h^{ab} [(\delta h_{bm})_{,i} + (\delta h_{bi})_{,m} - (\delta h_{mi})_{,b}] - \\
 & - \frac{1}{2} k_{ma} h^{ab} [(\delta h_{bn})_{,i} + (\delta h_{bi})_{,n} - (\delta h_{ni})_{,b}] = \\
 = & - \frac{1}{2} k_{an} h^{ab} [- h_{br} h_{ms} (\delta h^{rs})_{,i} - h_{rs} h_{si} (\delta h^{rs})_{,m} + h_{mr} h_{si} (\delta h^{rs})_{,b}] - \\
 & - \frac{1}{2} k_{ma} h^{ab} [- h_{br} h_{sn} (\delta h^{rs})_{,i} - h_{rb} h_{si} (\delta h^{rs})_{,n} + h_{nr} h_{si} (\delta h^{rs})_{,b}] \quad (1.56)
 \end{aligned}$$

Pode-se obter  $\delta(k_{in,j})$  a partir de (1.56), mudando-se apenas os índices:

$$\begin{aligned}
 \delta(k_{in,j}) = & \frac{1}{2} k_{an} h^{ab} (h_{br} h_{is} (\delta h^{rs})_{,j} + h_{br} h_{sj} (\delta h^{rs})_{,i} - \\
 & - h_{ir} h_{sj} (\delta h^{rs})_{,b}) + \frac{1}{2} k_{ia} h^{ab} (h_{br} h_{sn} (\delta h^{rs})_{,j} + \\
 & + h_{rb} h_{sj} (\delta h^{rs})_{,n} - h_{nr} h_{sj} (\delta h^{rs})_{,b}) \quad (1.57)
 \end{aligned}$$

Substituindo (1.56) e (1.57) em (1.53) obtém-se a seguinte expressão para  $\delta H_i$ :

$$\begin{aligned}
 \delta H_i = & - (k_i^j - \delta^j_i k)_{/j} \delta h^{1/2} - h^{1/2} k_{mn/j} \delta h^{mj} + h^{1/2} k_{mn/i} \delta h^{mn} - \\
 & - \frac{1}{2} h^{1/2} h^{rs} k_{an} h^{ab} (h_{br} h_{rs} (\delta h^{rs})_{/j} + h_{br} h_{sj} (\delta h^{rs})_{/r} - h_{ir} h_{sj} (\delta h^{rs})_{/b}) - \\
 & - \frac{1}{2} h^{1/2} h^{mn} k_{an} h^{ab} (h_{br} h_{ms} (\delta h^{rs})_{/i} + h_{br} h_{si} (\delta h^{rs})_{/m} - h_{mr} h_{si} (\delta h^{rs})_{/b}) - \\
 & - \frac{1}{2} h^{1/2} h^{mn} k_{ma} h^{ab} (h_{br} h_{sn} (\delta h^{rs})_{/i} + h_{rb} h_{si} (\delta h^{rs})_{/n} - h_{nr} h_{si} (\delta h^{rs})_{/b})
 \end{aligned} \tag{1.58}$$

O cálculo de  $\frac{\partial H_i}{\partial h^{uv}}$  é feito levando-se em conta que:

$$\begin{aligned}
 \left( \frac{\partial h^{rs}}{\partial h^{uv}} \right)_{/j} = & \delta_{uv}^{rs} \delta^{d-1}_{(x-x'')}_{,j} + \frac{1}{2} \delta_{(n}^s \Gamma_{m)j}^r \delta^{d-1}_{(x-x'')} + \\
 & + \frac{1}{2} \delta_{(n}^r \Gamma_{m)j}^s \delta^{d-1}_{(x-x'')}
 \end{aligned}$$

$$\text{onde } \delta_{ij}^{ab} = \frac{1}{2} (\delta_i^a \delta_j^b + \delta_j^a \delta_i^b)$$

O resultado final é:

$$\begin{aligned}
 \{H_i, \phi_{kl}^{-1}\} = & \frac{1}{2} H_i h_{kl} \delta^{d-1}_{(x-x')} - \\
 & - \frac{1}{2} h^{1/2} [(k_{ik} \delta^{d-1}_{(x-x')}_{,l} + k_{il} \delta^{d-1}_{(x-x')}_{,k} - \\
 & - \frac{1}{2} (k_{kl} \delta^{d-1}_{(x-x')}_{,i} - k_i^b h_{kl} \delta^{d-1}_{(x-x')}_{,b})]
 \end{aligned} \tag{1.59}$$

Dos outros parênteses de Poisson mais simples, serão apresentados apenas os resultados:

$$\{H_o, H'_i\} = \{H_o, H'_o\} = \{H_i, H'_j\} \approx 0 \tag{1.60.a}$$

$$\{H_0, \phi^{2ij}\} = 2 h^{1/2} (k^{ij} - h^{ij} k) \delta^{d-1}_{(x-x')} \quad (1.60.b)$$

$$\begin{aligned} \{H_1, \phi^{2kl}\} &= -2 h^{1/2} [h^{kl} \delta^{d-1}_{(x-x')} - \\ &- \frac{1}{2} (\delta^k_i h^{lj} - \delta^l_i h^{kj}) \delta^{d-1}_{(x-x')} ] \end{aligned} \quad (1.60.c)$$

$$\{\phi_{ij}^1, \phi_{kl}^1\} = -\frac{1}{2} h^{1/2} (k_{ij} h_{kl} - h_{ij} k_{kl}) \delta^{d-1}_{(x-x')} \quad (1.60.d)$$

$$\{\phi_{ij}^1, \phi^{2kl}\} = -h^{1/2} (\delta^{kl}_{ij} - h^{kl} h_{ij}) \delta^{d-1}_{(x-x')} \quad (1.60.e)$$

$$\{\phi^{2ij}, \phi^{2kl}\} = 0 \quad (1.60.f)$$

Fica assim mais fácil verificar que a condição de consistência para os já citados vínculos  $\phi_{ij}^1$  e  $\phi^{2ij}$  leva a obtenção das seguintes expressões para os multiplicadores de Lagrange  $\lambda^{ij}$  e  $\omega_{ij}$ :

$$\lambda^{ij} = h^{-1/2} (2N k^{ij} - N^{i/j} - N^{j/i}) \quad (1.61.a)$$

e

$$\begin{aligned} \omega_{ij} &= h^{-1/2} [N (\tilde{R}_{ij} + k k_{ij} - 2k^m k_{im} k_{mj}) - N_{i/j} + N_{m/i} k^m_j + \\ &+ N_{m/j} k^m_i + N^m k_{ij/m}] \end{aligned} \quad (1.61.b)$$

Aqui pode-se verificar que os cálculos estão coerentes, pois as equações de Hamilton abaixo levam às equações de Einstein quando são substituídos os valores de  $\lambda^{ij}$  e  $\omega_{ij}$  nelas:

$$k_{ij} = \{k_{ij}, H_T\} = h^{1/2} \omega_{ij} \quad (G_{\mu\nu} \perp^\mu_\alpha \perp^\nu_\beta = 0) \quad (1.62.a)$$

onde  $\perp^\mu_\alpha = \delta^\mu_\alpha + n^\mu n_\alpha$

e  $n^\mu$  é o vetor perpendicular à hipersuperfície.

$$\hat{h}^{ij} = \{h^{ij}, H_i\} = h^{1/2}\lambda^{ij} \quad (g_{\mu\nu;\alpha} = 0) \quad (1.62.b)$$

O resultado nulo obtido em (1.32.a) e (1.32.b) para a variação da densidade de lagrangeana  $\mathcal{L}$  em termos das "velocidades"  $N$  e  $N_i$ , ou seja, o resultado de que  $N$  e  $N_i$  são arbitrários, indica que nenhum grau de liberdade é inherente a estes campos. Estas variáveis podem ser descartadas pela introdução de vínculos de Gauge do tipo:

$$\Omega^0 = N - C^0 \approx 0 \quad (1.63.a)$$

$$\Omega^i = N^i - C^i \approx 0 \quad (1.63.b),$$

que depois da introdução dos parênteses de Dirac passarão a ser igualdades fortes junto com os demais vínculos:

$$\Pi^\mu = 0 \quad (1.64.a)$$

$$N^\mu = C^\mu \quad (1.64.b)$$

Assim os vínculos  $\Omega^0$  e  $\Omega^i$  podem ser descartados, e,  $N$  e  $N^i$  serem tratados como multiplicadores  $C^0$  e  $C^i$  no desenvolvimento que segue.

A verificação da condição de consistência para os vínculos secundários  $H_0$  e  $H_i$  não levam a nenhum novo vínculo. Todos os vínculos da teoria são então de segunda classe, já que nenhum deles possui parênteses de Poisson nulo com todos os demais.

Porém, como a condição de consistência para os "d" vínculos  $H_0$  e  $H_i$  não impõem restrições aos "d" multiplicadores  $N$  e  $N^i$ , isto sugere que "d" combinações dos " $\frac{1}{2} d(d-1) + \frac{1}{2} d(d-1) + d$ " vínculos de segunda classe, são de primeira classe. Esses "d" vínculos de primeira classe podem ser obtidos através da escolha arbitrária dos multiplicadores  $N$  e  $N^i$  que aparece em  $H_i$  explicitamente e também implicitamente pelas expressões (1.61.a) e (1.62.b) de  $\lambda^{ij}$  e  $\omega_{ij}$ , pois  $H_i$  é um vínculo de primeira classe.

Pode-se escolher por exemplo:

$$(1) \quad N = \delta^{d-1}(x-x) \quad \text{e} \quad N^i = 0 \quad (1.65),$$

obtendo um vínculo de primeira classe:

$$\begin{aligned} \bar{H}_0 &= h^{1/2} (\tilde{R} + k^2 - k_{ij} k^{ij}) + 2 k^{ij} \Pi_{ij} + \\ &+ (\tilde{R}_{ij} + k k_{ij} - 2 k^P k_{pj}) P^{ij} - P^{ij}_{,ij} \end{aligned} \quad (1.66)$$

$$(2) \quad N = 0 \quad \text{e} \quad N_a^i = \delta_a^i \delta^{d-1}(x-x) \quad (1.67),$$

obtendo  $d-1$  vínculos de primeira classe:

$$\bar{H}_a = 2 \Pi_{a,j}^j - 2 k_{aj,i} P^{ij} + k_{ij,a} P^{ij} \quad (1.68)$$

Os vínculos de segunda classe independentes  $\phi_{ij}^1$  e  $\phi^{2ij}$  tornam-se igualdades fortes com a introdução dos parênteses de Dirac:

$$\begin{aligned} \{A(x), B(y)\}^* &\equiv \{A(x), B(y)\} - \\ &- \int du dv \{A(x), \phi^{\alpha}(u)\} (C^{-1})_{\alpha\beta}^{(u,v)} \{\phi^{\beta}(v), B(y)\} \end{aligned} \quad (1.69),$$

$$\text{onde } C_{\alpha\beta}^{(ij)(kl)} = \{\phi_{\alpha}^{ij}, \phi_{\beta}^{kl}\} \quad (1.70)$$

são elementos da matriz dos parênteses de Poisson entre os vínculos de segunda classe. Torna-se portanto necessário calcular a inversa da matriz C.

Observa-se que a matriz C pode ser representada por:

$$C = \begin{pmatrix} A & B \\ -B & 0 \end{pmatrix} \quad (1.71)$$

onde (veja as eqs. (160, d,e,f)):

$$A = -\frac{1}{2} h^{1/2} (k_{ij} h_{kl} - h_{ij} k_{kl}) \delta^{d-1}_{(x-x')} \quad (1.72.a)$$

$$B = h^{1/2} (\delta_{ij}^{kl} - h_{ij}^{kl} h_{ij}) \delta^{d-1}_{(x-x')} \quad (1.72.b)$$

É fácil verificar que a matriz inversa será:

$$C^{-1} = \begin{pmatrix} 0 & -B^{-1} \\ B^{-1} & B^{-1} A B^{-1} \end{pmatrix} \quad (1.73)$$

É somente necessário portanto calcular a inversa de B e a multiplicação  $B^{-1} A B^{-1}$ . Aqui será apresentado apenas o cálculo de  $B^{-1}$ .

Suponha que:

$$B^{-1} = -(C_{12}^{-1})_{ij}^{kl} = (a \delta_{ij}^{kl} + b h_{ij}^{kl} h_{ij}) \delta^{d-1}_{(x-x')} \quad (1.74)$$

Então tem-se:

$$\begin{aligned}
 & \int du (C^{-1})_{mn}^{kl} C_{iz}^{mn} = \\
 & = \int du h^{1/2} (a \delta_{mn}^{kl} + b h_{mn}^{kl}) (\delta_{ij}^{mn} - h_{ij}^{mn} h_{ij}) \delta^{d-1}(x-u) \delta^{d-1}(u-y) = \\
 & = h^{1/2} (a \delta_{mn}^{kl} + b h_{mn}^{kl}) (\delta_{ij}^{mn} - h_{ij}^{mn} h_{ij}) \delta^{d-1}(x-y) = \\
 & = h^{1/2} [a (\delta_{ij}^{kl} - h_{ij}^{kl}) - b (d-2) h_{ij}^{kl}] \delta^{d-1}(x-y) \equiv \\
 & \equiv \delta_{ij}^{kl} \delta^{d-1}(x-y)
 \end{aligned} \tag{1.75}$$

Escolhendo  $a = h^{-1/2}$  (1.76),

o valor de  $b$  deverá ser :

$$b = \frac{h^{-1/2}}{d-2} \tag{1.77}$$

Consequentemente tem-se:

$$B^{-1} = - (C_{iz}^{-1})_{ij}^{kl} = h^{-1/2} (\delta_{ij}^{kl} - \frac{h_{ij}^{kl}}{d-2} \delta^{d-1}(x-y)) \tag{1.78}$$

e a multiplicação  $B^{-1} A B^{-1}$  dá:

$$B^{-1} A B^{-1} = (C_{zz}^{-1})_{ijkl} = - \frac{h^{-1/2}}{2(d-2)} (h_{ij} k_{kl} - h_{kl} k_{ij}) \delta^{d-1}(x-y) \tag{1.79}$$

Em resumo tem-se, os seguintes elementos de  $C^{-1}$ :

$$C_{11}^{-1} = 0 \tag{1.80.a}$$

$$(C_{12}^{-1})^{kl}_{ij} = - (C_{21}^{-1})^{kl}_{ij} = - h^{-1/2} \delta_{ij}^{kl} - \frac{h^{kl} h_{ij}}{d-2} \delta^{d-4}(\alpha-y) \quad (1.80.b)$$

$$(C^{-1})_{ijkl} = - \frac{h^{-1/2}}{2(d-2)} (h_{ij} k_{kl} - h_{kl} k_{ij}) \delta^{d-4}(\alpha-y) \quad (1.80.c)$$

De posse destes resultados, já é possível calcular os parênteses de Dirac entre funções das variáveis canônicas. Os vínculos  $\phi^1_{ij}$  e  $\phi^{2ij}$  passarão a ser igualdades fortes e portanto podem ser usados para a escolha entre duas representações. Começa-se pelo par de variáveis canônicas  $h^{ij}$  e  $\Pi_{ij}$ .

Olhando a matriz  $C^{-1}$  vê-se que um dos termos (aquele relativo à  $C_{11}^{-1}$ ) dos parenteses abaixo, é igual a zero:

$$\begin{aligned} & \{h^{ij}(\alpha), \Pi_{kl}(y)\}^* = \{h^{ij}(\alpha), \Pi_{kl}(y)\} - \\ & - \int du dv \{h^{ij}(\alpha), \phi^\alpha(u)\} (C^{-1})_{\alpha\beta}(u,v) \{\phi^\beta(v), \Pi_{kl}(y)\} \end{aligned} \quad (1.81)$$

Restam então os seguintes termos:

$$\begin{aligned} & \{h^{ij}(\alpha), \Pi_{kl}(y)\}^* = \delta_{kl}^{ij} \delta^{d-4}(\alpha-y) - \\ & - \int du dv \{h^{ij}(\alpha), \phi^1_{mn}(u)\} [h^{-1/2} (\delta_{rs}^{mn} - \frac{h_{rs} h^{mn}}{d-2}) \delta^{d-4}(u-v)] \{\phi^{2rs}(v), \Pi_{kl}(y)\} - \\ & - \int du dv \{h^{ij}(\alpha), \phi^{2mn}(u)\} [-h^{-1/2} (\delta_{mn}^{rs} - \frac{h_{mn} h^{rs}}{d-2}) \delta^{d-4}(u-v)] \{\phi^1_{rs}(v), \Pi_{kl}(y)\} - \\ & - \int du dv \{h^{ij}(\alpha), \phi^{2mn}(u)\} [\frac{-h^{-1/2} (h_{mn} k_{rs} - h_{rs} k_{mn})}{d-2} \delta^{d-4}(u-v)] \{\phi^{2rs}(v), \Pi_{kl}(y)\} \end{aligned} \quad (1.82)$$

Substitui-se em (1.82) os parênteses de Poisson abaixo:

$$\begin{aligned} \{h^{ij}_{\infty}, \phi^i_{mn}(u)\} &= \{h^{ij}_{\infty}, (\Pi_{mn}(u) + h^{1/2}(u) k_{mn}(u))\} = \\ &= \delta^{ij}_{mn} \delta^{d-1}(x-u) \end{aligned} \quad (1.83.a)$$

$$\begin{aligned} \{\phi^{rs}(v), \Pi_{kl}(y)\} &= \{(\mathcal{P}^{rs}(v) + zh^{1/2}(v) h^{rs}(v)), \Pi_{kl}(y)\} = \\ &= -h^{1/2} h_{kl} h^{rs} \delta^{d-1}(v-y) + zh^{1/2} \delta^{rs}_{kl} \delta^{d-1}(v-y) \end{aligned} \quad (1.83.b)$$

$$\{h^{ij}_{\infty}, \phi^{mn}(u)\} = \{h^{ij}_{\infty}, (\mathcal{P}^{mn}(u) + zh^{1/2}(u) h^{mn}(u))\} = 0 \quad (1.83.c)$$

Mostra-se então facilmente que o parêntese de Dirac entre  $h^{ij}$  e  $\Pi_{kl}$  é:

$$\{h^{ij}_{\infty}, \Pi_{kl}(y)\}^* = (-\delta^{ij}_{kl} + \frac{1}{d-2} h^{ij} h_{kl}) \delta^{d-1}(x-y) \quad (1.84)$$

De modo semelhante obtém-se os outros parênteses:

$$\{h^{ij}_{\infty}, h^{kl}(y)\}^* = 0 \quad (1.85.a)$$

$$\{\Pi_{ij}(\infty), \Pi_{kl}(y)\}^* = \frac{h^{1/2}}{d-2} (k_{ij} h_{kl} - h_{ij} k_{kl}) \delta^{d-1}(x-y) \quad (1.85.b)$$

Os parênteses de Poisson (1.84) e (1.85.b) revelam que  $\Pi_{ij}$  não é uma boa variável canônica. Deverá ser feita uma mudança de variável, de forma que nessa nova variável canônica  $\Pi'_{ij}$ , seus parênteses de Dirac dêem:

$$\{\Pi'_{ij}(\infty), \Pi'_{kl}(y)\}^* = 0 \quad (1.86.a)$$

$$\{h^{ij}(x), \Pi'_{kl}(y)\}^* = \delta_{kl}^{ij} \delta^{d-1}(x-y) \quad (1.86.b)$$

Supondo que  $\Pi'_{ij}$  seja uma combinação do tipo:

$$\Pi'_{ij} = -a \Pi_{ij} + b h_{ij} \Pi \quad (1.87),$$

onde  $a$  e  $b$  são coeficientes a serem determinados, e  $\Pi$  é o traço de  $\Pi_{ij}$ :

$$\Pi \equiv h^{ij} \Pi_{ij}$$

Não é tarefa difícil mostrar que os  $\Pi'_{ij}$  obtidos serão:

$$\Pi'_{ij} = -\Pi_{ij} + h_{ij} \Pi \quad (1.88)$$

A expressão (1.88) pode ser invertida tomando-se o seu traço, e encontrando:

$$\Pi_{ij} = -\Pi'_{ij} + \frac{1}{d-2} h_{ij} \Pi' \quad (1.89)$$

Substituindo em (1.66) e em (1.68) os vínculos abaixo:

$$k_{ij} = -h^{-1/2} \Pi_{ij} \quad (1.90.a)$$

$$h^{ij} = -\frac{1}{2} h^{-1/2} P^{ij} \quad (1.90.b),$$

já em termos de  $\Pi'_{ij}$ , encontra-se:

$$\bar{H}_\alpha = 2 \Pi'_{\alpha \beta} \approx 0 \quad (1.91.a)$$



$$\bar{H}_0 = \frac{1}{2} h^{-1/2} [h^{ik}h^{jl} + h^{il}h^{jk} - \frac{2}{d-2} h^{ij}h^{kl}] \Pi_{ij}^* \Pi_{kl}^* - h^{1/2} \tilde{R} \approx 0$$

(1.91.b)

Estes são os já conhecidos vínculos super-momento e super-Hamiltoniano respectivamente. Esta escolha de variáveis leva ao mesmo resultado que se obtém no formalismo de segunda ordem da gravitação.

Pode-se ainda obter uma outra representação para as equações (1.91.a) e (1.91.b). Com este objetivo calcula-se antes os parênteses de Dirac de todas as combinações possíveis entre o par de coordenadas  $k_{ij}$  e  $P^{ij}$ . É fácil mostrar que elas dão os seguintes resultados:

$$\{P^{ij}_{(x)}, k_{kl(y)}\}^* = -2\delta_{kl}^{ij} \delta^{d-1}_{(x-y)} + \frac{1}{d-2} h^{ij}h_{kl} \delta^{d-1}_{(x-y)} \quad (1.92.a)$$

$$\{P^{ij}_{(x)}, P^{kl}_{(y)}\}^* = 0 \quad (1.92.b)$$

$$\{k_{ij(x)}, k_{kl(y)}\}^* = \frac{h^{-1/2}}{2(d-2)} (h_{kl} k_{ij} - h_{ij} k_{kl}) \delta^{d-1}_{(x-y)} \quad (1.92.c)$$

Os parênteses de Dirac revelam mais uma vez que não se está trabalhando com boas variáveis canônicas. Da mesma forma como foi feito para o par  $\Pi_{ij}$  e  $h^{ij}$ , mostra-se que a variável  $k^{ij}$  deve ser modificada para:

$$k'_{ij} = \frac{1}{2} (k_{ij} + \frac{1}{d-2} h_{ij} k) \quad (1.93),$$

que leva aos seguintes parênteses de Dirac:

$$\{P^{ij}(x), P^{kl}(y)\}^* = \{k'_{ij}(x), k'_{kl}(y)\}^* = 0 \quad (1.94.a)$$

$$\{k'_{ij}(x), P^{kl}(y)\}^* = \delta_{ij}^{kl} \delta^{d-1}(x-y) \quad (1.94.b)$$

Para se fazer a substituição dos vínculos (1.90.a) e (1.90.b) em (1.66) e (1.68) de modo que estes últimos fiquem escritos somente em termos das variáveis  $k'_{ij}$  e  $P^{ij}$ , é necessário antes obter dos primeiros as seguintes expressões:

$$\Pi_{ij} = - (-2)^{(1-d)/(d-3)} P^{(d-3)-1} k_{ij} \quad (1.95.a)$$

$$h^{1/2} = (-2)^{(1-d)/(d-3)} P^{(d-3)-1} \quad (1.95.b)$$

$$h^{ij} = (\frac{4}{P})^{(d-3)-1} P^{ij} \quad (1.95.c)$$

$$h_{ij} = (\frac{P}{4})^{(d-3)-1} P_{ij} \quad (1.95.d)$$

onde  $P \equiv \det P^{ij}$  e  $P_{ij} \equiv (P^{ij})^{-1}$ .

O resultado dessa substituição em  $\bar{H}_a$  é:

$$\bar{H}_a = - 2 k'_{aj/i} P^{ij} + k'_{ij/a} P^{ij} \quad (1.96)$$

Ocorre porém que a variável  $h^{ij}$  ainda está presente na expressão acima, na forma de derivada covariante. Para eliminá-la, escreve-se as derivadas covariantes explicitamente em termos das conexões:

$$k'_{ij,a} = k'_{ij,a} - \Gamma^l_{ia} k'_{lj} - \Gamma^l_{aj} k'_{il} \quad (1.97)$$

depois usando:

$$P^{ij}_{,i} = 0 \quad (1.98)$$

eliminam-se as conexões, e obtém-se:

$$\bar{H}_a = -2k'_{aj,i} P^{ij} + k'_{ij,a} P^{ij} - 2k'_{aj} P^{ij},_i \quad (1.99)$$

Vale frisar, como mostrado em [13], que (191.a) e (199) são geradores de transformações de coordenadas.

A nova representação para o vínculo super-hamiltoniano (1.91.b) é:

$$\bar{H}_o = \left(\frac{P}{4}\right)^{(d-3)} \frac{\tilde{R}_{ij} P^{ij}}{2} + \left[\frac{(d-1)}{2(d-2)} k'_{mn} k'_{ij} - k'_{mj} k'_{ni} - k'_{mi} k'_{nj}\right] P^{mn} P^{ij} \approx 0 \quad (1.100)$$

onde

$$\begin{aligned} & \left(\frac{P}{4}\right)^{(d-3)} \frac{\tilde{R}_{ij} P^{ij}}{2} = \\ & = ((2)^{1-d} P)^{(d-3)} \left[ -P_{,i,j}^{ij} - \frac{1}{4} P_{ij}^{lb} P_{,l,b}^{ij} + \right. \\ & + \frac{1}{4(d-3)} (-4 P_{ij}^{ab} P_{,a,b}^{ij} + (d-7) P_{ij}^{kl} P_{,l,k}^{ij} + \\ & \left. + (d-7) P_{,k}^{kl} P_{ij,l}^{ij} + P_{ij}^{ab} P_{,l,k}^{kl} P_{,l}^{ab}) \right] \quad (1.101) \end{aligned}$$

Com isto, conclui-se a construção da teoria classica. A sua parte quântica será apresentada na introdução do capítulo 3.

## CAPÍTULO 2

### FORMALISMO DE PRIMEIRA ORDEM PARA O CAMPO GRAVITACIONAL EM TERMOS DE OUTRAS VARIÁVEIS CANÔNICAS

Neste capítulo são definidas novas variáveis canônicas  $\tilde{h}^{ij}$ ,  $h^{1/2}$ ,  $k$  e  $\hat{k}_{ij}$ , reescreve-se a ação de Einstein - Hilbert (1.3) em termos delas, e aplica-se o formalismo de primeira ordem, tomando como variáveis independentes  $N$ ,  $N^i$ ,  $h^{1/2}$ ,  $\tilde{h}^{ij}$ ,  $\hat{k}_{ij}$  e  $k$ . Isto leva a um número de vínculos de segunda classe maior do que o encontrado na seção 1.C do capítulo 1, possibilitando a obtenção de outras representações da equação de Wheeler - De Witt.

Como já foi visto no capítulo anterior, a ação de Einstein - Hilbert pode ser escrita na formulação ADM, como:

$$S = \int d^d x h^{1/2} [ -2 h^{ij} \overset{\circ}{k}_{ij} - \overset{\circ}{h}^{ij} k_{ij} + N(\tilde{R} + k^2 - k^{ij} k_{ij}) - 2 N^i (k^j_i - \delta^j_i k)_{,j}] \quad (2.1)$$

Definem-se novas variáveis  $\tilde{h}^{ij}$  e  $\hat{k}_{ij}$  tal que:

$$h^{ij} = (h^{1/2})^a \tilde{h}^{ij} \quad (2.2.a)$$

e

$$k_{ij} = \hat{k}_{ij} + \frac{1}{d-1} k h_{ij} \quad (2.2.b),$$

onde  $a = -\frac{2}{d-1}$

Nota-se que o determinante de  $\tilde{h}^{ij}$  é igual a 1:

$$\det \tilde{h}^{ij} \equiv \tilde{h} = 1 \quad (2.3)$$

e que  $\hat{k}_{ij}$  é a parte sem traço de  $k_{ij}$ :

$$h^{ij} \hat{k}_{ij} = 0 \quad (2.4)$$

As duas equações acima são vínculos que restringem a variação das variáveis canônicas. Deve-se, a fim de variá-las livremente, introduzir esses vínculos na ação por meio de multiplicadores de Lagrange. A ação S fica:

$$S = \int d^d x \{ z(\tilde{h} - 1) + y(\hat{k}_{ij} h^{ij}) + h^{1/2} [ -2 h^{ij} \overset{\circ}{k}_{ij} - \overset{\circ}{h}^{ij} k_{ij} +$$

$$+ N(\tilde{R} + k^2 - k_{ij}k^{ij}) - 2N(k_i^j - \delta_i^j k)_{,j} \} \quad (2.5)$$

onde  $z$  e  $y$  são os multiplicadores de Lagrange.

Substituindo na ação a expressão (2.2.6), e usando a equação abaixo:

$$h_{mn}h^{mn} = -2h^{-1/2}\hat{h}^{1/2} \quad (2.6),$$

a ação fica:

$$\begin{aligned} S = \int d^d x & \{ [ h^{1/2}(-2h^{ij}\hat{k}_{ij} - \hat{h}^{ij}\hat{k}_{ij}) - \hat{k}h^{1/2} + \hat{h}^{1/2}k - \frac{2k\hat{h}^{1/2}}{d-1} ] + \\ & + h^{1/2} [ N(\tilde{R} + \frac{(d-2)}{(d-1)}k^2 - \frac{2}{d-1}h^{ij}\hat{k}_{ij}k - \hat{k}_{ij}\hat{k}^{ij}) - \\ & - 2N(k_i^j - \frac{(d-2)k}{(d-1)}\delta_i^j)_{,j} ] + z(\tilde{h} - 1) + y(h^{ij}\hat{k}_{ij}) \} \end{aligned} \quad (2.7)$$

A variação de (2.7) em  $\hat{k}_{ij}$  leva à obtenção da expressão do multiplicador  $y$ :

$$y = 2h^{1/2}(Nk - N^n_{,n}) \quad (2.8),$$

e também à seguinte equação:

$$h^{1/2}(\delta_{mn}^{ij} - \frac{1}{(d-1)}h^{ij}h_{mn})[-h^{mn} + 2Nk^{mn} - N^{m/n} - N^{n/m}] = 0 \quad (2.9)$$

A variação em  $k$  leva a uma outra equação:

$$h_{mn}h^{mn} = 2(Nk - N^m_{,m}) \quad (2.10),$$

que junto com (2.9) resulta em parte das equações de Einstein:

$$\hat{h}^{mn} = 2Nk^{mn} - N^{m/n} - N^{n/m} \quad (2.11)$$

O restante das equações de Einstein será obtido das variações em  $\hat{h}^{ij}$  e  $\hat{h}^{ij}$ . A variação em  $\hat{h}^{ij}$  leva à obtenção do outro multiplicador, z:

$$\begin{aligned} z = h^{1/2} & [ - \frac{(d-2)}{(d-1)(d-1)} Nk^2 + \frac{1}{(d-1)} N \hat{k}_{ij} \hat{k}^{ij} + \frac{(d-2)}{(d-1)} N^c_{\quad c} - \\ & - N^{1/p} \hat{k}_{lp} - \frac{(d-2)}{(d-1)} N^l k_{\quad l} ] \end{aligned} \quad (2.12),$$

e à equação:

$$\begin{aligned} (\delta_{mn}^{ij} - \frac{1}{d-1} h^{ij} h_{mn}) [\hat{k}_{ij} - N_{\quad i}{}_{j} - N \tilde{R}_{ij} + k_{ij} k^{ij} - 2k^p_{\quad i} k_{pj}] - \\ - N_{\quad i}{}_{jl} k_{il} - N_{\quad j}{}_{il} k_{il} - N^l k_{ij/l} = 0 \end{aligned} \quad (2.13)$$

A variação em  $h^{1/2}$  leva à equação:

$$\hat{h}^{ij} \hat{k}_{ij} = - N \tilde{R} + k^2 - k_{ij} k^{ij} + N^c_{\quad c} - 2N^{1/p} k_{lp} - N^l k_{\quad l} \quad (2.14),$$

que junto com (2.13) resulta na outra parte das equações de Einstein:

$$\begin{aligned} \hat{k}_{ij} = N_{\quad i}{}_{j} + N \tilde{R}_{ij} + k_{ij} k^{ij} - 2k^p_{\quad i} k_{pj} - N_{\quad i}{}_{jl} k_{il} - \\ - N_{\quad j}{}_{il} k_{il} - N^l k_{ij/l} \end{aligned} \quad (2.15)$$

As variações em  $N$  e  $N^i$  levam respectivamente às equações:

$$H_0 \equiv h^{1/2} (\tilde{R} + \frac{(d-2)}{(d-1)} k^2 - \frac{2}{d-1} h^{ij} \hat{k}_{ij} k - \hat{k}_{ij} \hat{k}^{ij}) = 0 \quad (2.16.a)$$

$$H_i \equiv 2h^{1/2} (\hat{k}_i^j - \frac{(d-2)}{(d-1)} k \delta_i^j)_{,j} = 0 \quad (2.16.b)$$

Repara-se que (2.11) traz de volta a relação de dependência entre  $h^{ij}$  e  $k_{ij}$ , ou seja, entre  $\tilde{h}^{ij}$ ,  $h^{1/2}$ ,  $\hat{k}_{ij}$  e  $k$ , que havia sido ignorada. Essa é uma característica do formalismo de primeira ordem, e ocorreu também na variação da ação (1.14) do campo eletromagnético em  $F^{\mu\nu}$ , restabelecendo a relação destas variáveis com as outras ( $A^\mu$ ), conforme foi visto no capítulo 1.

Os momenta conjugados às variáveis canônicas são:

$$\bar{\Pi} \equiv \frac{\partial \mathcal{L}}{\partial \dot{N}} = 0 \quad (2.17.a)$$

$$\Pi_i \equiv \frac{\partial \mathcal{L}}{\partial \dot{N}^i} = 0 \quad (2.17.b)$$

$$\Pi \equiv \frac{\partial \mathcal{L}}{\partial h^{1/2}} = \frac{(d-3)}{(d-1)} k - a h^{ij} \hat{k}_{ij} \quad (2.17.c)$$

$$\tilde{\Pi}_{ij} \equiv \frac{\partial \mathcal{L}}{\partial \dot{h}^{ij}} = - (h^{1/2})^{d+1} \hat{k}_{ij} \quad (2.17.d)$$

$$\hat{P}^{ij} \equiv \frac{\partial \mathcal{L}}{\partial \dot{\hat{k}}_{ij}} = - 2 h^{1/2} h^{ij} \quad (2.17.e)$$

$$P \equiv \frac{\partial \mathcal{L}}{\partial \dot{k}} = - h^{1/2} \quad (2.17.f)$$

Nenhuma das velocidades pode ser invertida para os momenta.

Tem-se portanto os seguintes vínculos primários:

$$\phi \equiv \Pi - \frac{(d-3)}{(d-1)} k + a h^{ij} \hat{k}_{ij} \approx 0 \quad (2.18.a)$$

$$\tilde{\phi}_{ij} \equiv \tilde{\Pi}_{ij} + (h^{1/2})^{a+1} \hat{k}_{ij} \approx 0 \quad (2.18.b)$$

$$\hat{\phi}^{ij} \equiv \hat{P}^{ij} + z h^{1/2} h^{ij} \approx 0 \quad (2.18.c)$$

$$\hat{\phi} \equiv P + h^{1/2} \approx 0 \quad (2.18.d)$$

$$\bar{\Pi} \approx 0 \quad (2.18.e)$$

$$\Pi_i \approx 0 \quad (2.18.f)$$

além dos vínculos:

$$\tilde{h} - 1 \approx 0 \quad (2.19.a)$$

$$h^{ab} \hat{k}_{ab} \approx 0 \quad (2.19.b)$$

A Hamiltoniana canônica e a total são respectivamente:

$$H_C = \int d^{d-1}x \{ [-N(\tilde{R} + \frac{(d-2)}{(d-1)} k^2 - \frac{2}{d-1} h^{ij} \hat{k}_{ij} k - \hat{k}_{ij} \hat{k}^{ij}) - z N^i (\hat{k}_i^j - \frac{(d-2)}{(d-1)} k \delta_i^j)_{,j}] - z(\tilde{h} - 1) - y(h^{ij} \hat{k}_{ij}) \} \quad (2.20.a)$$

e

$$H_T = H_C + \int d^{d-1}x (\lambda \phi + \omega^{ij} \tilde{\phi}_{ij} + \lambda_{ij} \hat{\phi}^{ij} + \omega \hat{\phi}) \quad (2.20.b)$$

onde  $\lambda$ ,  $\omega^{ij}$ ,  $\lambda_{ij}$  e  $\omega$  são multiplicadores de Lagrange. Os vínculos (2.18.e) e (2.18.f) não são incluídos por motivo semelhante àquele que levou os vínculos (1.33.a) e (1.33.b) do capítulo 1 a serem excluídos da teoria.

Os únicos parênteses de Poisson entre coordenadas e momenta

canônicos, diferentes de zero, são:

$$\{N(x), \bar{\Pi}(y)\} = \delta^{d-1}(x-y) \quad (2.21.a)$$

$$\{h^{1/2}(x), \Pi(y)\} = \delta^{d-1}(x-y) \quad (2.21.b)$$

$$\{\hat{k}_{kl}(x), \hat{P}^{ij}(y)\} = \delta_{kl}^{ij} \delta^{d-1}(x-y) \quad (2.21.c)$$

$$\{N^i(x), \Pi_l(y)\} = \delta_l^i \delta^{d-1}(x-y) \quad (2.21.d)$$

$$\{\tilde{h}^{ij}(x), \tilde{\Pi}_{kl}(y)\} = \delta_{kl}^{ij} \delta^{d-1}(x-y) \quad (2.21.e)$$

$$\{k(x), P(y)\} = \delta^{d-1}(x-y) \quad (2.21.f)$$

Por questões práticas, que se tornarão claras mais adiante, reescreve-se a Hamiltoniana total com uma nova nomenclatura para os vínculos primários:

$$\begin{aligned} H_T = \int d^{d-1}x \{ -h^{1/2} [ & N (\tilde{R} + \frac{(d-2)}{(d-1)} k^2 - \frac{2}{d-1} h^{ij} \hat{k}_{ij} k - \hat{k}_{ij} \hat{k}^{ij}) - \\ & - z N^i (\hat{k}_i^j - \frac{(d-2)}{(d-1)} \delta_i^j k)_{,j}] + \lambda \phi_1 + \omega^{ij} \phi_{2ij} + y \phi_3 + \\ & + \lambda_{ij} \phi_4^{ij} + \omega \phi_5 + z \phi_6 \} \end{aligned} \quad (2.22)$$

onde tem-se:

$$\phi_1 \equiv \phi \quad (2.23.a)$$

$$\phi_{2ij} \equiv \tilde{\phi}_{ij} \quad (2.23.b)$$

$$\phi_3 \equiv h^{ij} \hat{k}_{ij} \quad (2.23.c)$$

$$\phi_4^{ij} \equiv \hat{\phi}^{ij} \quad (2.23.d)$$

$$\phi_5 \equiv \hat{\phi} \quad (2.23.e)$$

$$\phi_6 \equiv (\tilde{h} - 1) \quad (2.23.f)$$

Os parênteses de Poisson entre os "6" vínculos acima são:

$$\{\phi_1^{(x)}, \phi_1^{(y)}\} = 0 \quad (2.24.a)$$

$$\{\phi_1^{(x)}, \phi_{2ij}^{(y)}\} = - (h^{1/2})^a \hat{k}_{ij} \delta^{d-1}(x-y) \quad (2.24.b)$$

$$\{\phi_1^{(x)}, \phi_3^{(y)}\} = 0 \quad (2.24.c)$$

$$\{\phi_1^{(x)}, \phi_4^{ij}(y)\} = - \frac{2(d-2)}{(d-1)} \delta^{d-1}(x-y) \quad (2.24.d)$$

$$\{\phi_1^{(x)}, \phi_5^{(y)}\} = - \frac{2(d-2)}{(d-1)} \delta^{d-1}(x-y) \quad (2.24.e)$$

$$\{\phi_1^{(x)}, \phi_6^{(y)}\} = 0 \quad (2.24.f)$$

$$\{\phi_{2ij}^{(x)}, \phi_{2kl}^{(y)}\} = 0 \quad (2.24.g)$$

$$\{\phi_{2ij}^{(x)}, \phi_3^{(y)}\} = - (h^{1/2})^a \hat{k}_{ij} \delta^{d-1}(x-y) \quad (2.24.h)$$

$$\{\phi_{2ij}^{(x)}, \phi_4^{kl}(y)\} = - (h^{1/2})^{a+1} \delta_{ij}^{kl} \delta^{d-1}(x-y) \quad (2.24.i)$$

$$\{\phi_{2ij}^{(x)}, \phi_5^{(y)}\} = 0 \quad (2.24.j)$$

$$\{\phi_{2ij}^{(x)}, \phi_6^{(y)}\} = - (h^{1/2})^a h_{ij} \delta^{d-1}(x-y) \quad (2.24.k)$$

$$\{\phi_3^{(x)}, \phi_3^{(y)}\} = 0 \quad (2.24.m)$$

$$\{\phi_3^{(x)}, \phi_4^{ij}(y)\} = h^{ij} \delta^{d-1}(x-y) \quad (2.24.n)$$

$$\{\phi_3^{(x)}, \phi_5^{(y)}\} = 0 \quad (2.24.o)$$

$$\{\phi_3^{(x)}, \phi_6^{(y)}\} = 0 \quad (2.24.p)$$

$$\{\phi_4^{ij(x)}, \phi_4^{kl(y)}\} = 0 \quad (2.24.q)$$

$$\{\phi_4^{ij(x)}, \phi_5^{(y)}\} = 0 \quad (2.24.r)$$

$$\{\phi_4^{ij(x)}, \phi_6^{(y)}\} = 0 \quad (2.24.s)$$

$$\{\phi_5^{(x)}, \phi_5^{(y)}\} = 0 \quad (2.24.t)$$

$$\{\phi_5^{(x)}, \phi_6^{(y)}\} = 0 \quad (2.24.u)$$

$$\{\phi_6^{(x)}, \phi_6^{(y)}\} = 0 \quad (2.24.v)$$

Denomina-se por  $\mathcal{H}_C^*$  a seguinte expressão:

$$\begin{aligned} \mathcal{H}_C^* = & - h^{1/2} [ N ( \tilde{R} + \frac{(d-2)}{(d-1)} k^2 - \frac{2}{d-1} h^{ij} \hat{k}_{ij} k - \hat{k}_{ij} \hat{k}^{ij} ) - \\ & - 2 N^i ( \hat{k}^j_{ij} - \frac{(d-2)}{(d-1)} \delta^j_i k )_{,j} ] \end{aligned} \quad (2.25)$$

Assim a Hamiltoniana total pode ser escrita como:

$$H_T = \int d^{d-1}x ( \mathcal{H}_C^*(x) + \lambda^a(x) \phi_a(x) ) \quad (2.26)$$

onde a letra a, aqui, varia de 1 a 6; e as funções  $\lambda^a$  são definidas como:

$$\lambda^1 \equiv \lambda \quad (2.27.a)$$

$$\lambda^{2ij} \equiv \omega^{ij} \quad (2.27.b)$$

$$\lambda^3 \equiv y \quad (2.27.c)$$

$$\lambda_{ij}^4 \equiv \lambda_{ij} \quad (2.27.d)$$

$$\lambda^5 \equiv \omega \quad (2.27.e)$$

$$\lambda^6 \equiv z \quad (2.27.f)$$

As condições de consistência dos vínculos (2.23) são dadas por:

$$\{H_T, \phi_b(y)\} = \int d^{d-1}x \{g_C^*, \phi_b(y)\} + \lambda^\alpha \{\phi_a(\omega), \phi_b(y)\} \\ \approx 0 \quad (2.28)$$

Elas não levam a novos vínculos, mas sim, aos valores dos multiplicadores:

$$\lambda^1 \equiv \lambda = - h^{1/2}(Nk - N^n_{/n}) \quad (2.29.a)$$

$$\lambda^{2kl} \equiv \omega^{kl} = (h^{1/2})^{-\alpha} \{ 2N \hat{k}^{kl} - N^{k/l} - N^{l/k} - \frac{2}{d-1} h^{kl} N^n_{/n} \} \quad (2.29.b)$$

$$\lambda^3 \equiv y = 2h^{1/2}(Nk - N^n_{/n}) \quad (2.29.c)$$

$$\lambda_{ij}^4 \equiv \lambda_{ij} = \frac{1}{d-1} N^c_{/c} h_{ij} - N_{ij} + N \tilde{R}_{ij} + \frac{(d-3)}{(d-1)} N k \hat{k}_{ij} - \\ - 2N \hat{k}_{ipj}^p \hat{k}_{jl} + N^l_{/i} \hat{k}_{jl} + N^l_{/j} \hat{k}_{il} + N^l_{/i} \hat{k}_{lj} + \\ + \frac{(d-2)}{(d-1)(d-1)} N \hat{k}_{mn} \hat{k}^{mn} h_{ij} \quad (2.29.d)$$

$$\lambda^5 \equiv \omega = - N^c_{/c} + N^l_{/l} k_{/l} + \frac{1}{d-1} N k^2 + N \hat{k}_{ij} \hat{k}^{ij} \quad (2.29.e)$$

$$\lambda^6 \equiv z = h^{1/2} \left[ \frac{(d-2)}{(d-1)(d-1)} N k^2 + \frac{1}{d-1} N \hat{k}_{ij} \hat{k}^{ij} + \frac{(d-2)}{(d-1)} N^c c_c - \right. \\ \left. - N^{1/p} \hat{k}_p - \frac{(d-2)}{(d-1)} N^l k_{il} \right] \quad (2.29.f)$$

Os multiplicadores  $\lambda^3$  e  $\lambda^6$  correspondem aos valores encontrados no formalismo Lagrangeano. Os outros são os necessários para que as equações de Hamilton déem as equações de Einstein. Os vínculos primários (2.18.e) e (2.18.f) porém levam aos seguintes vínculos secundários:

$$H_0 = - h^{1/2} (\tilde{R} + k^2 - k_{ij} k^{ij}) \approx 0 \quad (2.30.a)$$

$$H_i = 2 h^{1/2} (k_i^j - \delta_i^j k)_{,j} \approx 0 \quad (2.30.b)$$

No cálculo dos parênteses de Poisson entre os vínculos pôde-se observar que não houve nenhum vínculo que apresentasse parênteses de Poisson nulo com todos os outros. Portanto todos esses vínculos são de segunda classe. Deve-se neste caso trabalhar com parênteses de Dirac no lugar de parênteses de Poisson, como é discutido no apêndice A. Da mesma forma que no capítulo 1,  $N$  e  $N^i$  são arbitrários, e portanto,  $H_0$  e  $H_i$  são vínculos de primeira classe. Relembrando, a expressão geral para os parênteses de Dirac entre duas funções  $A(x)$  e  $B(y)$  é:

$$\{A(x), B(y)\}^* \equiv \{A(x), B(y)\} - \\ - \int du dv \{A(x), \phi^\alpha(u)\} (C^{-1})_{\alpha\beta}(u,v) \{\phi^\beta(v), B(y)\} \quad (2.31)$$

onde tem-se:

$$C_{\alpha\beta} = \{\phi_\alpha, \phi_\beta\} \quad (2.32)$$

dados por (2.16).

É necessário portanto obter  $C^{-1}$  antes de iniciar o cálculo dos parênteses de Dirac.

Para facilitar o cálculo de  $C^{-1}$ , escreve-se a matriz C separada em blocos :

$$C = \begin{pmatrix} M & N \\ -N^T & 0 \end{pmatrix} \quad (2.33)$$

A matriz inversa, também separada em blocos, fica:

$$C^{-1} = \begin{pmatrix} 0 & (-N^T)^{-1} \\ -N^T & N^{-1}M(N^T)^{-1} \end{pmatrix} \quad (2.34)$$

O cálculo de  $C^{-1}$  resume-se então no cálculo da matriz  $N^{-1}$ , da transposta, e na multiplicação matricial  $N^{-1}M(N^T)^{-1}$ .

O cálculo de  $N^{-1}$  através da solução do sistema de equações  $N^{-1}N = 1$  pode ser auxiliado pela relação que existe entre os multiplicadores de lagrange  $\lambda_a$  e os parênteses de Poisson dos vínculos  $\phi^b$  com  $H_C^*$ , dada por:

$$\lambda_a = - \int d^{d-1}y C_{ab}^{-1} \{\phi^b(x), H_C^*(y)\} \quad (2.35)$$

Esta relação é equivalente à relação (A.23) apresentada no apêndice A.

Dos parênteses de Poisson (2.24), vê-se que a matriz N é dada por:

$$\begin{aligned}
 N &= \begin{pmatrix} -\frac{(d-2)}{(d-1)} h^{ij} & -\frac{2(d-2)}{(d-1)} & 0 \\ -(h^{1/2})^{\alpha+1} \delta_{ij}^{kl} & 0 & -(h^{1/2})^{\alpha} h_{ij} \\ h^{ij} & 0 & 0 \end{pmatrix} = \\
 &= \begin{pmatrix} C_{14} & C_{15} & C_{16} \\ C_{24} & C_{25} & C_{26} \\ C_{34} & C_{35} & C_{36} \end{pmatrix} \tag{2.36}
 \end{aligned}$$

e a matriz  $N^{-1}$  é:

$$N^{-1} = \begin{pmatrix} -C_{14}^{-1} & -C_{15}^{-1} & -C_{16}^{-1} \\ -C_{24}^{-1} & -C_{25}^{-1} & -C_{26}^{-1} \\ -C_{34}^{-1} & -C_{35}^{-1} & -C_{36}^{-1} \end{pmatrix} \tag{2.37}$$

A equação  $N^{-1}N = 1$  leva de imediato a alguns elementos de  $C^{-1}$ , como por exemplo:

$$C_{14}^{-1} = 0 \tag{2.38.a}$$

$$C_{15}^{-1} = \frac{(d-1)}{2(d-2)} \tag{2.38.b}$$

$$C_{16}^{-1} = 0 \tag{2.38.c}$$

Leva também a algumas relações úteis, tais como:

$$h_{ij} (C_{25}^{-1})^{ij} = 0 \tag{2.39.a}$$

$$h_{ij} (C_{24}^{-1})^{ij}_{kl} = 0 \tag{2.39.b}$$

Usando agora a relação (2.35) para  $a = 2$ , obtém-se:

$$\begin{aligned}
 (h^{1/2})^{-a} & \in 2 N \hat{k}^{ij} - N^{i/j} - N^{j/i} + \frac{2}{d-1} h^{ij} N^{\rho}_{\rho n} = \\
 & = (C_{24}^{-1})^{ij} \left( \frac{2}{d-1} N k h^{kl} + 2 h^{1/2} N \hat{k}^{kl} - h^{1/2} N^{k/l} - h^{1/2} N^{l/k} \right) - \\
 & - (C_{25}^{-1})^{ij} \frac{2(d-2)}{(d-1)} [N k - h^{1/2} N^{\rho}_{\rho n}] \quad (2.40)
 \end{aligned}$$

Com base na relação (2.39.b) supõe-se a expressão de  $(C_{24}^{-1})^{ij}$  seja do tipo abaixo:

$$(C_{24}^{-1})^{ij} = (h^{1/2})^{-a-i} (\delta_{kl}^{ij} - \frac{1}{d-1} h^{ij} h_{kl}) \quad (2.41)$$

Substituindo-se esta expressão (2.41) em (2.40), obtém-se:

$$C_{25}^{-1} = 0 \quad (2.42)$$

Com um procedimento semelhante a este acima, obtém-se todos os elementos da matriz  $N^{-1}$ , que são os seguintes:

$$N_{11}^{-1} \equiv - C_{14}^{-1} = 0 \quad (2.43.a)$$

$$N_{12}^{-1} \equiv - C_{24}^{-1} = - (h^{1/2})^{-a-1} (\delta_{kl}^{ij} - \frac{1}{d-1} h^{ij} h_{kl}) \quad (2.43.b)$$

$$N_{13}^{-1} \equiv - C_{34}^{-1} = \frac{1}{d-1} h_{ij} \quad (2.43.c)$$

$$N_{21}^{-1} \equiv - C_{15}^{-1} = - \frac{(d-1)}{d(d-2)} \quad (2.43.d)$$

$$N_{22}^{-1} \equiv - C_{25}^{-1} = 0 \quad (2.43.e)$$

$$N_{23}^{-1} \equiv - C_{35}^{-1} = -1 \quad (2.43.f)$$

$$N_{31}^{-1} \equiv - C_{16}^{-1} = 0 \quad (2.43.g)$$

$$N_{32}^{-1} \equiv - C_{26}^{-1} = - \frac{1}{d-1} (h^{1/2})^{-\alpha} h^{ij} \quad (2.43.h)$$

$$N_{33}^{-1} \equiv - C_{36}^{-1} = - \frac{1}{d-1} h^{1/2} \quad (2.43.i)$$

Sabendo-se que  $(N^T)^{-1} = (N^{-1})^T$ , pode-se calcular os elementos restantes de  $C^{-1}$  tendo apenas que efetuar multiplicações de matrizes. Os elementos de  $C^{-1}$  obtidos são os seguintes:

$$C_{ij}^{-1} = 0 \quad \text{p/ valores de } i \text{ e } j \text{ entre 1 e 3} \quad (2.44.a)$$

$$C_{14}^{-1} = 0 \quad (2.44.b)$$

$$C_{15}^{-1} = \frac{(d-1)}{2(d-2)} \quad (2.44.c)$$

$$C_{16}^{-1} = 0 \quad (2.44.d)$$

$$C_{24}^{-1} = (h^{1/2})^{-\alpha-1} (\delta_{kl}^{ij} - \frac{1}{d-1} h^{ij} h_{kl}) \quad (2.44.e)$$

$$C_{25}^{-1} = 0 \quad (2.44.f)$$

$$C_{26}^{-1} = \frac{1}{d-1} (h^{1/2})^{-\alpha} h^{ij} \quad (2.44.g)$$

$$C_{34}^{-1} = \frac{1}{d-1} h_{ij} \quad (2.44.h)$$

$$C_{35}^{-1} = 1 \quad (2.44.i)$$

$$C_{36}^{-1} = \frac{1}{d-1} h^{1/2} \quad (2.44.j)$$

$$C_{41}^{-1} = 0 \quad (2.44.k)$$

$$C_{42}^{-1} = - (h^{1/2})^{-\alpha-1} (\delta_{kl}^{ij} - \frac{1}{d-1} h^{ij} h_{kl}) \quad (2.44.m)$$

$$C_{43}^{-1} = \frac{1}{d-1} h_{ij} \quad (2.44. n)$$

$$C_{44}^{-1} = \frac{1}{d-1} (h^{1/2})^{-1} (\hat{k}_{kl} h_{rs} - \hat{k}_{rs} h_{kl}) \quad (2.44. o)$$

$$C_{45}^{-1} = - \frac{(d-3)}{2(d-2)} (h^{1/2})^{-1} \hat{k}_{kl} \quad (2.44. p)$$

$$C_{46}^{-1} = - \frac{1}{d-1} \hat{k}_{kl} \quad (2.44. q)$$

$$C_{51}^{-1} = - \frac{(d-1)}{2(d-2)} \quad (2.44. r)$$

$$C_{52}^{-1} = 0 \quad (2.44. s)$$

$$C_{53}^{-1} = -1 \quad (2.44. t)$$

$$C_{54}^{-1} = \frac{(d-3)}{2(d-2)} (h^{1/2})^{-1} \hat{k}_{kl} \quad (2.44. u)$$

$$C_{61}^{-1} = 0 \quad (2.44. v)$$

$$C_{62}^{-1} = - \frac{1}{d-1} (h^{1/2})^{-1} h^{ij} \quad (2.44. v)$$

$$C_{63}^{-1} = - \frac{1}{d-1} h^{1/2} \quad (2.44. x)$$

$$C_{64}^{-1} = \frac{1}{d-1} \hat{k}_{rs} \quad (2.44. y)$$

$$C_{kl}^{-1} = 0 \quad \text{p/ valores de k e l entre 5 e 6} \quad (2.44. z)$$

De posse da matriz  $C^{-1}$  já é possível calcular os parênteses de Dirac entre as variáveis canônicas. Os vínculos de segunda classe tornam-se então igualdades fortes, podendo gerar novas representações. Calcula-se então os parenteses de Dirac entre todas as combinações das variáveis  $h^{1/2}$ ,  $\Pi$ ,  $\tilde{h}^{ij}$  e  $\tilde{\Pi}_{ij}$  para verificar se estas são boas variáveis canônicas.

Lembrando mais uma vez, a expressão geral dos parenteses de

Dirac entre duas funções  $A(x)$  e  $B(y)$  é:

$$\begin{aligned} \{A(x), B(y)\}^* &= \{A(x), B(y)\} = \\ &= - \int du dv \{A(x), \phi^\alpha(u)\} (C^{-1})_{\alpha\beta}^{(1)}(u,v) \{\phi^\beta(v), B(y)\} \end{aligned} \quad (2.45)$$

Cálculo de  $\{\tilde{\Pi}_{ij}(x), \tilde{\Pi}_{kl}(y)\}^*$ :

$$\begin{aligned} \{\tilde{\Pi}_{ij}(x), \tilde{\Pi}_{kl}(y)\}^* &= \\ &= - \int du dv \{\tilde{\Pi}_{ij}(x), \phi^3(u)\} (C^{-1})_{3\sigma}^{(1)}{}_{mn} \{\phi^{4mn}(v), \tilde{\Pi}_{kl}(y)\} = \\ &= - \int du dv \{\tilde{\Pi}_{ij}(x), \phi^3(u)\} (C^{-1})_{3\sigma}^{(1)} \{\phi^6(v), \tilde{\Pi}_{kl}(y)\} = \\ &= - \int du dv \{\tilde{\Pi}_{ij}(x), \phi^{4mn}(u)\} (C^{-1})_{4\sigma}^{(1)}{}_{mn} \{\phi^3(v), \tilde{\Pi}_{kl}(y)\} = \\ &= - \int du dv \{\tilde{\Pi}_{ij}(x), \phi^{4mn}(u)\} (C^{-1})_{4\sigma}^{(1)}{}_{mnrs} \{\phi^{4rs}(v), \tilde{\Pi}_{kl}(y)\} = \\ &= - \int du dv \{\tilde{\Pi}_{ij}(x), \phi^{4mn}(u)\} (C^{-1})_{4\sigma}^{(1)}{}_{mn} \{\phi^6(v), \tilde{\Pi}_{kl}(y)\} = \\ &= - \int du dv \{\tilde{\Pi}_{ij}(x), \phi^6(u)\} (C^{-1})_{6\sigma}^{(1)} \{\phi^3(v), \tilde{\Pi}_{kl}(y)\} = \\ &= - \int du dv \{\tilde{\Pi}_{ij}(x), \phi^6(u)\} (C^{-1})_{6\sigma}^{(1)} \{\phi^4(v), \tilde{\Pi}_{kl}(y)\} = \\ &= - \int du dv (Ch^{1/2})^a \hat{k}_{ij} \delta(x-u) (\frac{1}{d-1} h_{mn} \delta(u-v)) (2h^{1/2} \delta_{kl}^{mn} \delta(v-y)) + \\ &+ \int du dv (Ch^{1/2})^a \hat{k}_{ij} \delta(x-u) (\frac{1}{d-1} h^{1/2} \delta(u-v)) ((h^{1/2})^a \tilde{h} h_{kl} \delta(v-y)) = \\ &+ \int du dv (2(Ch^{1/2})^{a+1} \delta_{ij}^{mn} \delta(x-u)) (\frac{1}{d-1} (h^{1/2})^{-1} (\hat{k}_{mn} h_{rs} - \hat{k}_{rs} h_{mn})) \delta(u-v) \times \\ &\quad \times (2(Ch^{1/2})^{a+1} \delta_{kl}^{rs} \delta(v-y)) = \\ &- \int du dv (2(Ch^{1/2})^{a+1} \delta_{ij}^{mn} \delta(x-u)) (\frac{1}{d-1} \hat{k}_{mn} \delta(u-v)) \times \\ &\quad \times ((h^{1/2})^a \tilde{h} h_{kl} \delta(v-y)) = \end{aligned}$$

$$\begin{aligned}
 & - \int dudv ((h^{1/2})^a \tilde{h} h_{ij} \delta(x-y)) (\frac{1}{d-1} h^{1/2} \delta(u-v)) ((h^{1/2})^a \hat{k}_{kl} \delta(v-y)) + \\
 & + \int dudv ((h^{1/2})^a \tilde{h} h_{ij} \delta(x-u)) (\frac{1}{d-1} \hat{k}_{mn} \delta(u-v)) (z(h^{1/2})^{a+1} \delta(v-y)) = \\
 & = \frac{1}{d-1} (h^{1/2})^{2a+1} (\hat{k}_{ij} h_{kl} - \hat{k}_{kl} h_{ij}) \delta(x-y) \quad (2.46)
 \end{aligned}$$

Os outros parênteses de Dirac são:

$$\{h^{1/2}(x), h^{1/2}(y)\}^* = 0 \quad (2.47.a)$$

$$\{h^{1/2}(x), \Pi(y)\}^* = \frac{(d-3)}{2(d-2)} \delta^{d-1}(x-y) \quad (2.47.b)$$

$$\{h^{1/2}(x), \tilde{h}^{ij}(y)\}^* = 0 \quad (2.47.c)$$

$$\{h^{1/2}(x), \tilde{\Pi}_{ij}(y)\}^* = 0 \quad (2.47.d)$$

$$\{\Pi(x), \Pi(y)\}^* = 0 \quad (2.47.e)$$

$$\{\Pi(x), \tilde{h}^{ij}(y)\}^* = 0 \quad (2.47.f)$$

$$\{\Pi(x), \tilde{\Pi}_{ij}(y)\}^* = 0 \quad (2.47.g)$$

$$\{\tilde{h}^{ij}(x), \tilde{h}^{kl}(y)\}^* = 0 \quad (2.47.h)$$

$$\{\tilde{h}^{ij}(x), \tilde{\Pi}_{kl}(y)\}^* = (-\delta_{kl}^{ij} + \frac{1}{d-1} h^{ij} h_{kl}) \delta^{d-1}(x-y) \quad (2.47.i)$$

$$\{\tilde{\Pi}_{ij}(x), \tilde{\Pi}_{kl}(y)\}^* = \frac{1}{d-1} (h^{1/2})^{2a+1} (\hat{k}_{ij} h_{kl} - \hat{k}_{kl} h_{ij}) \delta^{d-1}(x-y) \quad (2.47.j)$$

Os parênteses de Dirac entre as variáveis canônicas  $k$ ,  $P$ ,  $\hat{k}_{ij}$  e  $\hat{P}^{ij}$ , são:

$$\{k(x), k(y)\}^* = 0 \quad (2.47.a)$$

$$\{k(x), P(y)\}^* = \frac{(d-1)}{z(d-2)} \delta^{d-1}(x-y) \quad (2.47.b)$$

$$\{k(x), \hat{k}_{ij}(y)\}^* = \frac{(d-3)}{z(d-2)} (h^{1/2})^{-1} k_{ij} \delta^{d-1}(x-y) \quad (2.47.c)$$

$$\{k(x), \hat{P}^{ij}(y)\}^* = \frac{(d-3)}{(d-2)} h^{ij} \delta^{d-1}(x-y) \quad (2.47.d)$$

$$\{P(x), P(y)\}^* = 0 \quad (2.47.e)$$

$$\{P(x), \hat{k}_{ij}(y)\}^* = 0 \quad (2.47.f)$$

$$\{P(x), \hat{P}^{ij}(y)\}^* = 0 \quad (2.47.g)$$

$$\{\hat{k}_{ij}(x), \hat{k}_{kl}(y)\}^* = \frac{1}{d-1} (h^{1/2})^{-1} (\hat{k}_{ij} h_{kl} - \hat{k}_{kl} h_{ij}) \delta^{d-1}(x-y) \quad (2.47.h)$$

$$\{\hat{k}_{ij}(x), \hat{P}^{kl}(y)\}^* = z (\delta_{ij}^{kl} - \frac{1}{d-1} h^{kl} h_{ij}) \delta^{d-1}(x-y) \quad (2.47.i)$$

$$\{\hat{P}^{ij}(x), \hat{P}^{kl}(y)\}^* = 0 \quad (2.47.j)$$

Observa-se, pelas expressões dos parênteses de Dirac, que nenhum dos dois conjuntos de variáveis canônicas forma um conjunto de boas variáveis canônicas. Será necessário redefinir novas variáveis canônicas. Sejam T e E estas novas variáveis dadas por:<sup>(8)</sup>

$$T \equiv \frac{z(d-2)^{1/2}}{(d-1)^{1/2}} \ln(h^{1/2}) \quad (2.48.a)$$

$$E \equiv \frac{(d-2)^{1/2} (d-1)^{1/2}}{(d-3)} h^{1/2} \Pi \quad (2.48.b)$$

Calculam-se os parênteses de Dirac entre o novo conjunto de

variáveis canônicas  $\{T, E, \tilde{h}^{ij}, \tilde{\Pi}_{ij}\}$ :

$$\begin{aligned} \{T, E\}^* &= \frac{2(d-2)}{(d-3)} \{\ln h^{1/2}, h^{1/2} \Pi\}^* = \\ &= \frac{2(d-2)}{(d-3)} \{\ln h^{1/2}, h^{1/2}\}^* \Pi + \frac{2(d-2)}{(d-3)} \{\ln h^{1/2}, \Pi\}^* h^{1/2} \end{aligned} \quad (2.49)$$

Os parênteses  $\{\ln h^{1/2}, h^{1/2}\}^*$  e  $\{\ln h^{1/2}, \Pi\}^*$  serão calculados separadamente:

$$\begin{aligned} \{\ln h^{1/2}(x), h^{1/2}(y)\}^* &= \\ &= - \int du dv \{\ln h^{1/2}(x), \phi^\alpha(u)\} (C^{-1})_{\alpha\beta}(u,v) \{\phi^\beta(v), h^{1/2}(y)\} = \\ &= 0 \end{aligned} \quad (2.50)$$

$$\begin{aligned} \{\ln h^{1/2}(x), \Pi(y)\}^* &= \{\ln h^{1/2}(x), \Pi(y)\} = \\ &= - \int du dv \{\ln h^{1/2}(x), \phi^\alpha(y)\} (C^{-1})_{\alpha\beta}(u,v) \{\phi^\beta(v), \Pi(y)\} = \\ &= \int d^{d-1}z \frac{\partial(\ln h^{1/2}(x))}{\partial h^{1/2}(z)} \frac{\partial \Pi(y)}{\partial \Pi(z)} = \\ &= - \int du dv \{\ln h^{1/2}(x), \phi^i(u)\} (C^{-1})_{i5} \{\phi^5(v), \Pi(y)\} = \\ &= h^{-1/2} \delta^{d-1}(x-y) - \int du dv h^{-1/2} \delta^{d-1}(x-u) \frac{(d-1)}{2(d-2)} \delta^{d-1}(u-v) = \\ &= \frac{(d-3)}{2(d-2)} h^{-1/2} \delta^{d-1}(x-y) \end{aligned} \quad (2.51)$$

Substituindo (2.50) e (2.51) em (2.49), obtém-se:

$$\{T_{(x)}, E_{(y)}\}^* = \delta^{d-1}_{(x-y)} \quad (2.52)$$

Os outros parênteses de Dirac são:

$$\{T, T\}^* = 0 \quad (2.53.a)$$

$$\{T, E\}^* = \delta^{d-1}_{(x-y)} \quad (2.53.b)$$

$$\{T, \tilde{h}^{ij}\}^* = 0 \quad (2.53.c)$$

$$\{T, \tilde{\Pi}_{ij}\}^* = 0 \quad (2.53.d)$$

$$\{E, E\}^* = 0 \quad (2.53.e)$$

$$\{E, \tilde{h}^{ij}\}^* = 0 \quad (2.53.f)$$

$$\{E, \tilde{\Pi}_{ij}\}^* = 0 \quad (2.53.g)$$

$$\{\tilde{h}^{ij}, \tilde{h}^{kl}\}^* = 0 \quad (2.53.h)$$

$$\{\tilde{h}^{ij}, \tilde{\Pi}_{ij}\}^* = (-\delta^{ij}_{kl} + \frac{1}{d-1} h^{ij} h_{kl}) \delta^{d-1}_{(x-y)} \quad (2.53.i)$$

$$\{\tilde{\Pi}_{ij}, \tilde{\Pi}_{kl}\}^* = -\frac{h^{-1/2}}{d-1} (\tilde{\Pi}_{ij} h_{kl} - \tilde{\Pi}_{kl} h_{ij}) \delta^{d-1}_{(x-y)} \quad (2.53.j)$$

Utiliza-se os vínculos de segunda classe (2.18.a), (2.18.b) e (2.18.c) que agora são igualdades fortes:

$$\Pi = \frac{(d-3)}{(d-1)} k + a h^{ij} \hat{k}_{ij} = 0 \quad (2.54.a)$$

$$\tilde{\Pi}_{ij} + (h^{1/2})^{d+1} \hat{k}_{ij} = 0 \quad (2.54.b)$$

$$\tilde{h}^{ij} \hat{k}_{ij} = 0 \quad (2.54.c)$$

para substituir na expressão (2.16.b) de  $H_i$ :

$$H_i = -2 h^{1/2} (\hat{k}_{i,j}^j - \frac{(d-2)}{(d-1)} k_{,i}) \quad (2.55)$$

as variáveis  $k$  e  $\hat{k}_{ij}$ , pelas variáveis  $\tilde{h}^{ij}$ ,  $\tilde{\Pi}_{ij}$ ,  $E$  e  $T$ , obtendo-se:

$$H_i = 2 \tilde{\Pi}_{il,j} \tilde{h}^{lj} + \tilde{h}^{ab} \tilde{\Pi}_{ab,i} + 2 \tilde{h}^{aj} \tilde{\Pi}_{ja,i} + \\ + \frac{2(d-2)}{(d-1)^{1/2}} E_{,i} - T_{,i} E \quad (2.56)$$

O vínculo deve manter o seu significado físico em qualquer representação. Pode-se verificar isto calculando-se os seguintes parênteses de Dirac:

$$\{\tilde{h}^{ij}(x), \int d^{d-1}y \xi^b(y) H_b(y)\}^* = \tilde{h}^{ib} \xi^j,_b + \tilde{h}^{bj} \xi^i,_b - \\ - \tilde{h}^{ij} \xi^m,_m + a \tilde{h}^{ij} \xi^n,_n \quad (2.57)$$

O vínculo  $H_i$  é portanto gerador de transformações de coordenadas, como mostra-se a seguir:

Numa transformação de coordenadas  $\tilde{h}^{ij}$  se transforma como:

$$\tilde{h}'^{ij}(x') = J^a \frac{\partial x'^i}{\partial x^a} \frac{\partial x'^j}{\partial x^b} \tilde{h}^{ab}(x) \quad (2.58)$$

onde  $w = a = -\frac{2}{d-1}$  é o peso da densidade tensorial  $\tilde{h}^{ij}$ .

Considerando-se uma transformação infinitesimal:

$$x'^i = x^i + \xi^i$$

então tem-se:

$$J^w = 1 + w \xi^i, \quad (2.59),$$

Sabendo-se que a expansão de  $\tilde{h}'^{ij}_{\infty}$  em série de Taylor é:

$$\tilde{h}'^{ij}_{\infty} = \tilde{h}^{ij}_{\infty} + \tilde{h}^{ij}_{\infty, a} \xi^a \quad (2.60),$$

pode-se então mostrar que  $\tilde{h}^{ij}$  se transforma exatamente como a expressão do lado direito de (2.57):

$$\begin{aligned} \delta \tilde{h}^{ij} &= \tilde{h}'^{ij}_{\infty} - \tilde{h}^{ij}_{\infty} = \tilde{h}^{ib} \xi^j, _b + \tilde{h}^{jb} \xi^i, _b - \\ &- \tilde{h}^{ij}, _m \xi^m + a \tilde{h}^{ij} \xi^n, _n \end{aligned} \quad (2.61)$$

Utiliza-se novamente as equações fortes (2.54.a), (2.54.b) e (2.54.c) para se substituir na expressão (2.16.a) de  $H_0$ :

$$H_0 = h^{1/2} (\tilde{R} + \frac{(d-2)}{(d-1)} k^2 - \frac{2}{d-1} h^{ij} \hat{k}_{ij} k - \hat{k}_{ij} \hat{k}^{ij}) \quad (2.62)$$

as variáveis  $k$  e  $\hat{k}_{ij}$ , pelas variáveis  $\tilde{h}^{ij}$ ,  $\tilde{n}_{ij}$ , E e T, obtendo-se:

$$H_0 = - \exp(-T/c) ( \exp(T/c) \tilde{R} + E^2 - \tilde{h}^{ik} \tilde{h}^{jl} \tilde{\Pi}_{ij} \tilde{\Pi}_{kl} ) \quad (2.63)$$

Aqui encerra a parte clássica da teoria. A parte quântica será apresentada na seção 3.A do próximo capítulo.

## CAPÍTULO 3

### QUANTIZAÇÃO CANÔNICA

No capítulo anterior e na seção 1.C do capítulo 1 foi vista a parte clássica da teoria da gravitação. Neste capítulo seguir-se-á o processo de quantização canônica, começando-se pela extensão da seção 1.C, que é uma revisão do artigo de Gleiser Holman e Neto<sup>(13)</sup>.

O processo de quantização canônica consiste nas seguintes etapas:

- 1- As variáveis canônicas  $h^{ij}$ ,  $\Pi_{ij}^r$ ,  $k_{ij}$  e  $p^{ij}$  são associadas a operadores.
- 2- Os vínculos de segunda classe:

$$P^{ij} = -2 h^{1/2} h^{ij} \quad (3.1.a)$$

$$k_{ij} = h^{1/2} (\Pi'_{ij} - \frac{1}{d-2} h_{ij} \Pi') \quad (3.1.b)$$

passam, portanto, a ser identidades entre operadores. Estes vínculos foram utilizados na seção 1.C para se eliminar as variáveis  $k_{ij}$  e  $P^{ij}$  das equações, e se trabalhar na representação  $h_{ij}$ ,  $\Pi'_{ij}$ .

3- Os parênteses de Dirac das variáveis dessa representação:

$$\{h^{ij}(\alpha), h^{kl}(\gamma)\}^* = 0 \quad (3.2.a)$$

$$\{\Pi'_{ij}(\alpha), \Pi'_{kl}(\gamma)\}^* = 0 \quad (3.2.b)$$

$$\{h^{ij}(\alpha), \Pi'_{kl}(\gamma)\}^* = \delta_{kl}^{ij} \delta^{d-4}(\alpha-\gamma) \quad (3.2.c)$$

são associados a comutadores entre operadores, através da relação:

$$[A, B] = i \hbar \{A, B\}^* \quad (3.3)$$

Daqui para a frente  $\hbar$  será considerado como igual a 1.

Uma representação que satisfaz estas relações de comutação é:

$$\Pi'_{kl} = -i \frac{\partial}{\partial h_{kl}} \quad (3.4.a)$$

$$h_{kl} = h_{kl} \quad (3.4.b)$$

4- A Hamiltoniana, em termos dos operadores, deveria levar a

equação de Schroedinger:

$$H\Psi = i \frac{\partial\Psi}{\partial T} \quad (3.5)$$

onde  $\Psi$  é uma função que pertence a um espaço de Hilbert. Porém, como a Hamiltoniana  $H$  é um vínculo, tem-se:

$$H\Psi = 0 \quad (3.6.a)$$

e portanto:

$$\frac{\partial\Psi}{\partial T} = 0 \quad (3.6.b)$$

5- Substituem-se nos vínculos:

$$\bar{H}_1 = 2 \Pi_{i,j}^{ij} \approx 0 \quad (3.7.a)$$

$$\bar{H}_0 = \frac{1}{2} h^{-1/2} [h^{ik} h^{jl} + h^{il} h^{jk} - \frac{2}{d-2} h^{ij} h^{kl}] \Pi_{ij}^* \Pi_{kl}^* \quad (3.7.b)$$

as variáveis canônicas pelos respectivos operadores, e aplica-os às funções de onda. No presente caso, são eles que vão reger a dinâmica do campo gravitacional. Eles restringem o espaço de Hilbert às funções que satisfazem às seguintes equações:

$$\bar{H}_1 \Psi(h) = h^{jl} \left( \frac{\partial\Psi}{\partial h^{ij}} \right)_{jl} = 0 \quad (3.8.a)$$

$$\bar{H}_0 \Psi(h) = G^{ijkl} \frac{\partial^2 \Psi(h)}{\partial h^{ij} \partial h^{kl}} - h^{1/2} \tilde{R} \Psi(h) = 0 \quad (3.8.6)$$

onde

$$G^{ijkl} = \frac{1}{2} h^{-1/2} [h^{ik} h^{jl} + h^{il} h^{jk} - \frac{2}{d-2} h^{ij} h^{kl}] \quad (3.9)$$

A restrição imposta às funções de onda  $\Psi$  pela equação (3.8.6) faz com que os  $\Psi$  de métricas que difiram apenas por uma transformação de coordenadas, sejam iguais.

A equação (3.8.6) é a equação de Wheeler-De Witt<sup>(11,12)</sup> na representação  $(h^{ij}, \Pi_{kl})$ . Nela,  $G^{ijkl}$  pode ser interpretada como uma métrica do espaço das métricas  $h^{ij}$  (superespaço)<sup>(11,12)</sup>.

Os autovalores da matriz  $G^{ijkl}$  são todos positivos com a exceção de um deles, que é negativo<sup>(11)</sup>. Isto indica a existência de uma coordenada tipo-tempo e, portanto, (3.8.6) é uma equação hiperbólica.

No restante deste capítulo será seguido o processo de quantização canônica para as outras representações decorrentes dos resultados do capítulo 2.

3.A - REPRESENTAÇÃO  $(\tilde{h}^{ij}, \tilde{\Pi}_{ij}, T, E)$ :

As etapas do processo de quantização que se segue nessa representação são:

1- As variáveis canônicas  $\tilde{h}^{ij}$ ,  $\tilde{\Pi}_{ij}$ , T e E são associadas a operadores.

2- Os vínculos de segunda classe:

$$\Pi = \frac{(d-3)}{(d-1)} k + a(h^{1/2})^a \tilde{h}^{ij} \hat{k}_{ij} = 0 \quad (3.10.a)$$

$$\tilde{\Pi}_{ij} + (h^{1/2})^{a+1} \hat{k}_{ij} = 0 \quad (3.10.b)$$

$$\tilde{h}^{ij} \hat{k}_{ij} = 0 = \tilde{h}^{ij} \tilde{\Pi}_{ij} \quad (3.10.c)$$

passam a ser identidades entre operadores.

O ordenamento na equação (3.10.c) é importante. Mais adiante é escolhido o outro ordenamento e serão vistas as suas consequências. Por enquanto segue-se este ordenamento.

3- Os parênteses de Dirac são associados a comutadores entre os operadores.

Uma representação que satisfaz as relações de comutação é:

$$T = T \quad (3.11.a)$$

$$E = -i \frac{\partial}{\partial T} \quad (3.11.b)$$

$$\tilde{h}^{ij} = \tilde{h}^{ij} \quad (3.11.c)$$

$$\tilde{\Pi}_{ij} = -i \left( -\frac{\partial}{\partial \tilde{h}^{ij}} + \tilde{h}_{ij} \tilde{h}^{kl} \frac{\partial}{\partial \tilde{h}^{kl}} \right) \quad (3.11.d)$$

A seguir, verifica-se a relação de comutação entre os operadores  $\tilde{\Pi}_{ij}$  e  $\tilde{\Pi}_{kl}$  quando aplicada a uma função  $\Psi$ .

$$\begin{aligned}
 [\tilde{\Pi}_{ij}, \tilde{\Pi}_{kl}] \Psi &= \tilde{\Pi}_{ij} \tilde{\Pi}_{kl} - \tilde{\Pi}_{kl} \tilde{\Pi}_{ij} = \\
 &= - \{ \left( -\frac{\partial}{\partial \tilde{h}^{ij}} + \frac{1}{d-1} \tilde{h}_{ij} \tilde{h}^{mn} \frac{\partial}{\partial \tilde{h}^{mn}} \right) \times \\
 &\quad \times \left( -\frac{\partial}{\partial \tilde{h}^{kl}} + \frac{1}{d-1} \tilde{h}_{kl} \tilde{h}^{rs} \frac{\partial}{\partial \tilde{h}^{rs}} \right) - \\
 &- \left( -\frac{\partial}{\partial \tilde{h}^{kl}} + \frac{1}{d-1} \tilde{h}_{kl} \tilde{h}^{mn} \frac{\partial}{\partial \tilde{h}^{mn}} \right) \times \left( -\frac{\partial}{\partial \tilde{h}^{ij}} + \frac{1}{d-1} \tilde{h}_{ij} \tilde{h}^{mn} \frac{\partial}{\partial \tilde{h}^{mn}} \right) \} \Psi = \\
 &= \left( -\frac{1}{d-1} \tilde{h}_{kl} \frac{\partial \Psi}{\partial \tilde{h}^{kl}} + \frac{1}{(d-1)^2} \tilde{h}_{ij} \tilde{h}^{rs} \frac{\partial (\tilde{h}_{kl} \tilde{h}^{mn})}{\partial \tilde{h}^{rs}} \frac{\partial \Psi}{\partial \tilde{h}^{mn}} + \right. \\
 &\quad \left. + \frac{1}{d-1} \tilde{h}_{ij} \frac{\partial \Psi}{\partial \tilde{h}^{kl}} - \frac{1}{(d-1)^2} \tilde{h}_{kl} \tilde{h}^{rs} \frac{\partial (\tilde{h}_{ij} \tilde{h}^{mn})}{\partial \tilde{h}^{rs}} \frac{\partial \Psi}{\partial \tilde{h}^{mn}} \right) = \\
 &= \frac{1}{d-1} \left( \tilde{h}_{ij} \frac{\partial \Psi}{\partial \tilde{h}^{kl}} - \tilde{h}_{kl} \frac{\partial \Psi}{\partial \tilde{h}^{ij}} \right) = \\
 &= \frac{1}{d-1} (\tilde{h}_{ij} \tilde{\Pi}_{kl} - \tilde{h}_{kl} \tilde{\Pi}_{ij}) \Psi \quad (3.12)
 \end{aligned}$$

o que está de acordo com (2.53.j) em termos de  $\tilde{h}^{ij}$ :

$$\{\tilde{\Pi}_{ij}^{(\alpha)}, \tilde{\Pi}_{kl}^{(\gamma)}\}^* = -\frac{1}{d-1} (\tilde{\Pi}_{ij} \tilde{h}_{kl} - \tilde{\Pi}_{kl} \tilde{h}_{ij}) \delta^{d-1}{}^{(\alpha-\gamma)} \quad (3.13)$$

Essa primeira relação de comutação é satisfeita. É fácil verificar que as outras relações também o são.

Deve-se notar que não importa o ordenamento das variáveis  $\tilde{\Pi}_{ij}$  e  $\tilde{h}_{ij}$  no lado direito da equação (3.13) contanto que se mantenha o mesmo ordenamento em seus dois termos.

Um ordenamento simetrizado:

$$\{\tilde{\Pi}_{ij}^{(x)}, \tilde{\Pi}_{kl}^{(y)}\}^* = -\frac{1}{d-1} [(\tilde{\Pi}_{ij}\tilde{h}_{kl} + \tilde{h}_{kl}\tilde{\Pi}_{ij}) - (\tilde{h}_{ij}\tilde{\Pi}_{kl} + \tilde{\Pi}_{kl}\tilde{h}_{ij})] \quad (3.14)$$

satisfaz também as mesmas relações de comutação (3.12).

#### 4- Os vínculos:

$$H_i = 2 \tilde{\Pi}_{il,j} \tilde{h}^{lj} + \tilde{h}^{ab},_i \tilde{\Pi}_{ab} + 2 \tilde{h}^{aj},_j \tilde{\Pi}_{ia} + \\ + \frac{2(d-2)^{1/2}}{(d-1)^{1/2}} E,_i - T,_i E \quad (3.15.a)$$

$$H_o = -\exp(-T/c) (\exp(T/c) R + E^2 - \tilde{h}^{ik} \tilde{h}^{jl} \tilde{\Pi}_{ij} \tilde{\Pi}_{kl}) \quad (3.15.b)$$

restringem o espaço de Hilbert às funções que satisfazem às seguintes equações:

$$H_i \Psi = -i \left[ 2 \left( -\frac{\partial \Psi}{\partial \tilde{h}^{il}} + \frac{1}{d-1} \tilde{h}_{il} \tilde{h}^{mn} \frac{\partial \Psi}{\partial \tilde{h}^{mn}} \right),_j \tilde{h}^{lj} + \right. \\ \left. + \tilde{h}^{ab},_i \left( -\frac{\partial \Psi}{\partial \tilde{h}^{ab}} + \frac{1}{d-1} \tilde{h}_{ab} \tilde{h}^{mn} \frac{\partial \Psi}{\partial \tilde{h}^{mn}} \right) + \right. \\ \left. + 2 \tilde{h}^{aj},_j \left( -\frac{\partial \Psi}{\partial \tilde{h}_{ia}} + \frac{1}{d-1} \tilde{h}_{ia} \tilde{h}^{mn} \frac{\partial \Psi}{\partial \tilde{h}^{mn}} \right) + \right]$$

$$+ \frac{z(d-2)}{(d-1)}^{1/2} \left[ \frac{\partial \Psi}{\partial T} \right]_i - T_{,i} \frac{\partial \Psi}{\partial T} = 0 \quad (3.16.a)$$

$$H_0 \Psi = 0 \Rightarrow$$

$$\rightarrow \frac{\partial^2 \Psi}{\partial T^2} - \tilde{G}_{ijab} \frac{\partial^2 \Psi}{\partial \tilde{h}^{ij} \partial \tilde{h}^{ab}} + \frac{(d-2)(d+1)}{2(d-1)} \tilde{h}^{ij} \frac{\partial \Psi}{\partial \tilde{h}^{ij}} + \\ + \exp(zT/c) R \Psi = 0 \quad (3.16.b)$$

onde (3.16.b) é obtida independentemente do ordenamento do último termo do lado direito de (3.15.b), e c é uma constante dada por (2.48.a):

$$c = \frac{z(d-2)}{(d-1)}^{1/2} \quad (3.17)$$

e  $\tilde{G}_{ijab}$  é igual a:

$$\tilde{G}_{ijab} = \frac{1}{2} (\tilde{h}^{ia} \tilde{h}^{jb} + \tilde{h}^{ib} \tilde{h}^{ja}) - \frac{1}{d-1} \tilde{h}^{ij} \tilde{h}^{ab} \quad (3.18)$$

Examina-se agora o significado da equação (3.16.a). Ela deverá ter o mesmo significado que a equação (3.8.a).

Sabendo que, dada uma transformação de coordenadas infinitesimal  $x'^i = x^i + \xi^i$ , as variáveis canônicas  $\tilde{h}^{ij}$  e T se transformam como:

$$\delta \tilde{h}^{ij} = \tilde{h}'^{ij} - \tilde{h}^{ij} = \tilde{h}^{ib} \xi^j,_b + \tilde{h}^{jb} \xi^i,_b - \\ - \tilde{h}^{ij},_m \xi^m + a \tilde{h}^{ij} \xi^n,_n \quad (3.19.a)$$

$$\delta T = T'(\infty) - T(\infty) = - \frac{z(d-2)}{(d-1)^{1/2}} \xi^i,_{,i} - T,_{,i} \xi^i \quad (3.19.b)$$

então tem-se:

$$\begin{aligned}
& \Psi \tilde{h}^{ij} + \delta \tilde{h}^{ij},_{,i} - T + \delta T = \\
& = \Psi \tilde{h}^{ij},_{,i} - T + \int d^{d-1}y \left[ \frac{\partial \Psi(y)}{\partial \tilde{h}^{mn}} \delta h^{mn}(y) + \frac{\partial \Psi(y)}{\partial T} \delta T(y) \right] = \\
& = \Psi \tilde{h}^{ij},_{,i} - T - \int d^{d-1}y \left[ \left( \frac{\partial \Psi}{\partial \tilde{h}^{ip}} \right)_{,b} \tilde{h}^{ib} + \frac{\partial \Psi}{\partial \tilde{h}^{ip}} \tilde{h}^{ib},_{,b} + \right. \\
& + \left( \frac{\partial \Psi}{\partial \tilde{h}^{pj}} \right)_{,a} \tilde{h}^{aj} + \frac{\partial \Psi}{\partial \tilde{h}^{pj}} \tilde{h}^{aj},_{,a} + \frac{\partial \Psi}{\partial \tilde{h}^{ij}} \tilde{h}^{ij},_{,p} + a \left( \frac{\partial \Psi}{\partial \tilde{h}^{ij}} \right)_{,p} + \\
& \left. + a \frac{\partial \Psi}{\partial \tilde{h}^{ij}} \tilde{h}^{ij},_{,p} - \frac{z(d-2)}{(d-1)^{1/2}} \left( \frac{\partial \Psi}{\partial T} \right)_{,p} + \frac{\partial \Psi}{\partial T} T,_{,p} \right] \xi^p = \\
& = \Psi \tilde{h}^{ij},_{,i} - T + \\
& + \int d^{d-1}y \left[ 2 \left( - \frac{\partial \Psi}{\partial \tilde{h}^{il}} + \frac{1}{d-1} \tilde{h}_{ij} \tilde{h}^{mn} \frac{\partial \Psi}{\partial \tilde{h}^{mn}} \right),_{,l} \tilde{h}^{ij} + \right. \\
& + \tilde{h}^{ab},_{,i} \left( - \frac{\partial \Psi}{\partial \tilde{h}^{ab}} + \frac{1}{d-1} \tilde{h}_{ab} \tilde{h}^{mn} \frac{\partial \Psi}{\partial \tilde{h}^{mn}} \right) + \\
& + 2 \tilde{h}^{aj},_{,j} \left( - \frac{\partial \Psi}{\partial \tilde{h}^{aj}} + \frac{1}{d-1} \tilde{h}_{ab} \tilde{h}^{mn} \frac{\partial \Psi}{\partial \tilde{h}^{mn}} \right) + \\
& \left. + \frac{z(d-2)}{(d-1)^{1/2}} \left( \frac{\partial \Psi}{\partial T} \right)_{,i} - T,_{,i} \frac{\partial \Psi}{\partial T} \right] = \\
& = \Psi \tilde{h}^{ij},_{,i} - T + i \int d^{d-1}y H_p \Psi \xi^p \quad (3.20)
\end{aligned}$$

onde usou-se a informação de que  $\tilde{h}^{ab},_i \tilde{h}_{ab} = 0$ , já que  $\det \tilde{h}^{ab} = 1$

De acordo com a equação (3.16.a), tem-se:

$$\Psi(\tilde{h}^{ij} + \delta\tilde{h}^{ij}, T + \delta T) = \Psi(\tilde{h}^{ij}, T) \quad (3.21)$$

o que significa que as funções de onda de duas métricas que difiram apenas por uma transformação de coordenadas são iguais.

A equação (3.16.b) é a equação de Wheeler-De Witt na representação  $(\tilde{h}^{ij}, \tilde{\Pi}_{ij}, T, E)$ .

Procura-se agora os autovalores da matriz  $\tilde{G}^{ijab}$ , para se poder compará-los com os da matriz  $G^{ijkl}$  da representação usual.

A matriz  $\tilde{G}^{ijab}$  é simétrica na troca dos índices i e j, e dos índices a e b, e também, na troca do par de índices i e j pelo par de índices a e b. É conveniente, então, ordenar essa matriz da seguinte maneira:

$$\tilde{G}^{1111} = M^{11} \quad (3.22.a)$$

$$\tilde{G}^{1122} = M^{12} \quad (3.22.b)$$

$$\tilde{G}^{1133} = M^{13} \quad (3.22.c)$$

:

$$\tilde{G}^{11(d-1)(d-1)} = M^{1(d-1)} \quad (3.22.d)$$

$$\tilde{G}^{1112} = M^{1d} \quad (3.22.e)$$

$$\tilde{G}^{1113} = M^{1(d+1)} \quad (3.22.f)$$

:

$$\tilde{G}^{2211} = M^{21} \quad (3.22.g)$$

$$\tilde{G}^{2222} = M^{22} \quad (3.22.h)$$

:

$$\tilde{G}^{2212} = M^{2d} \quad (3.22.i)$$

:

$$\tilde{G}^{(d-1)(d-1)11} = M^{(d-1)1} \quad (3.22.j)$$

:

$$\tilde{G}^{1211} = M^{d1} \quad (3.22.k)$$

:

$$\tilde{G}^{1222} = M^{d2} \quad (3.22.l)$$

onde a matriz  $M^{ij}$  é uma matriz simétrica nos índices i e j.

O número n de elementos de  $\tilde{G}^{ijab}$  é:

$$n = [(d-1) + C_{d-1}^2]^2 \quad (3.23)$$

onde  $C_{d-1}^2$  é o número de combinações entre d-1 elementos 2 a 2:

$$C_{d-1}^2 = \frac{(d-1)(d-2)}{2} \quad (3.24)$$

Para se calcular os elementos da matriz M, considera-se que a métrica seja localmente Euclidiana:

$$\tilde{h}^{ij} = \delta^{ij} \quad (3.25)$$

Os elementos são:

$$\begin{aligned}
 M^{11} &= \tilde{G}^{1111} = \frac{1}{2} (\tilde{h}^{11} \tilde{h}^{11} + \tilde{h}^{11} \tilde{h}^{11}) - \frac{1}{d-1} \tilde{h}^{11} \tilde{h}^{11} = \\
 &= \frac{1}{2} (\delta^{11} \delta^{11} + \delta^{11} \delta^{11}) - \frac{1}{d-1} \delta^{11} \delta^{11} = \\
 &= \frac{(d-2)}{(d-1)} \tag{3.26.a}
 \end{aligned}$$

$$\begin{aligned}
 M^{12} &= \tilde{G}^{1122} = \frac{1}{2} (\tilde{h}^{12} \tilde{h}^{12} + \tilde{h}^{12} \tilde{h}^{12}) - \frac{1}{d-1} \tilde{h}^{11} \tilde{h}^{22} = \\
 &= \frac{1}{2} (\delta^{12} \delta^{12} + \delta^{12} \delta^{12}) - \frac{1}{d-1} \delta^{11} \delta^{22} = \\
 &= -\frac{1}{d-1}
 \end{aligned} \tag{3.26.b}$$

$$\begin{aligned} M^{1d} &= \tilde{G}^{1112} = \frac{1}{2} (\tilde{h}^{11} \tilde{h}^{12} + \tilde{h}^{12} \tilde{h}^{11}) - \frac{1}{d-1} \tilde{h}^{11} \tilde{h}^{12} = \\ &= \frac{1}{2} (\delta^{11} \delta^{12} + \delta^{12} \delta^{11}) - \frac{1}{d-1} \delta^{11} \delta^{12} = 0 \quad (3.26.c) \end{aligned}$$

$$M^{dd} = \tilde{G}^{1212} = \frac{1}{2} (\tilde{h}^{11} \tilde{h}^{22} + \tilde{h}^{12} \tilde{h}^{21}) - \frac{1}{d-1} \tilde{h}^{12} \tilde{h}^{12} = \\ = \frac{1}{2} (\delta^{11} \delta^{22} + \delta^{12} \delta^{21}) - \frac{1}{d-1} \delta^{12} \delta^{12} = \frac{1}{2} \quad (3.26.d)$$

A matriz  $M$  se escreve então como:

$$= \begin{pmatrix} B_{11} & B_{12} \\ B_{21} & B_{22} \end{pmatrix} \quad (3.27)$$

onde as dimensões dos blocos são:

$$\begin{aligned} B_{11} &\longrightarrow (d-1) \times (d-1) \\ B_{12} &\longrightarrow \frac{(d-1)(d-2)}{2} \times (d-1) \\ B_{21} &\longrightarrow (d-1) \times \frac{(d-1)(d-2)}{2} \\ B_{22} &\longrightarrow \frac{(d-1)(d-2)}{2} \times \frac{(d-1)(d-2)}{2} \end{aligned}$$

O bloco  $B_{22}$  já está diagonalizado. Falta diagonalizar o bloco

$B_{11}$ :

$$B_{11} V = \lambda V \quad (3.28)$$

onde  $V$  e  $\lambda$  são respectivamente o autovetor e o autovalor de  $B_{11}$ .

O bloco  $B_{11}$  pode ser decomposto em duas partes, sendo uma delas a matriz unidade:

$$\frac{1}{d-1} \begin{pmatrix} (d-2) & -1 & -1 & \dots \\ -1 & (d-2) & -1 & \\ -1 & -1 & \ddots & \\ \vdots & & & \end{pmatrix} = \frac{1}{d-1} \begin{pmatrix} -1 & -1 & -1 & \dots \\ -1 & -1 & -1 & \\ -1 & -1 & -1 & \\ \vdots & & & \end{pmatrix} + I \quad (3.29)$$

É fácil verificar que o vetor abaixo:

$$v^* = \begin{pmatrix} -1 \\ -1 \\ \vdots \end{pmatrix} \quad (3.30)$$

é autovetor da primeira parte de  $B_{11}$  denominada por  $B_{11}^*$ :

$$B_{11}^* v^* = \frac{1}{(d-1)} \begin{pmatrix} -1 & -1 & \dots \\ -1 & -1 & \\ \vdots & & \end{pmatrix} \begin{pmatrix} -1 \\ -1 \\ \vdots \end{pmatrix} = \begin{pmatrix} -1 \\ -1 \\ \vdots \end{pmatrix} = v^* \quad (3.31)$$

então  $v^*$  é autovetor também de  $B_{11}$  com autovalor nulo:

$$B_{11} v^* = 0 \quad (3.32)$$

Seja  $\{ v^\perp \}$  o conjunto dos vetores ortogonais a  $v^*$ .

$$v^* \cdot v^\perp = 0 \quad (3.33)$$

O conjunto  $\{ v^\perp, v^* \}$  forma uma base, e os vetores  $v^\perp$  são autovetores de  $B_{11}^*$ , com autovalor nulo:

$$B_{11}^* v^\perp = \begin{pmatrix} -1 & -1 & -1 & \dots \\ -1 & -1 & -1 & \\ -1 & -1 & & \\ \vdots & & & \end{pmatrix} \begin{pmatrix} v_1^\perp \\ v_2^\perp \\ \vdots \end{pmatrix} = \begin{pmatrix} 0 \\ 0 \\ \vdots \end{pmatrix} \quad (3.34)$$

e consequentemente autovetores de  $B_{11}$  com autovalor 1.

A matriz  $B_{11}$ , na base  $\{ v^*, v^\perp \}$ , se escreve:

$$B_{11} = \begin{bmatrix} 0 & 0 & 0 & \dots \\ 0 & 1 & 0 & \\ 0 & 0 & 1 & \\ \vdots & & & \end{bmatrix} \quad (3.35)$$

A matriz  $\tilde{G}$  fica:

$$\tilde{G} = \begin{bmatrix} 0 & 0 & 0 & \dots & & & \\ 0 & 1 & 0 & & & & \\ 0 & 0 & 1 & & & & \\ \vdots & & & \frac{1}{z} & 0 & 0 & \dots \\ & & & 0 & \frac{1}{z} & 0 & \\ 0 & & & 0 & 0 & \frac{1}{z} & \\ & & & & & \vdots & \end{bmatrix} \quad (3.36)$$

Já era esperado que  $\tilde{G}$  possuisse um número de autovalores positivos igual ao da matriz  $G$  da representação usual ( $h^{ij}$ ,  $\Pi_{ij}^{ij}$ ):

$$G^{ijkl} = \frac{1}{z} h^{-1/2} [ h^{ik} h^{jl} + h^{il} h^{jk} - \frac{z}{d-z} h^{ij} h^{kl} ] \quad (3.37)$$

e apresentasse um autovalor nulo no lugar de um negativo, já que a equação de Wheeler-De Witt (3.16.b) na representação ( $\tilde{h}^{ij}$ ,  $\tilde{\Pi}_{ij}^{ij}$ , T, E) apresenta a derivada em relação à coordenada tipo-tempo (T) separada do termo que contém  $\tilde{G}^{ijab}$ .

Se na equação (3.10.c) tivesse sido escolhido o ordenamento:

$$\tilde{\Pi}_{ij} \tilde{h}^{ij} = 0 \quad (3.38)$$

dever-se-ia então definir o operador  $\tilde{\Pi}_{ij}$  como:

$$\tilde{\Pi}_{ij} = -i \left( -\frac{\partial}{\partial \tilde{h}_{ij}} + \frac{i}{d-1} \tilde{h}_{ij} \tilde{h}^{ab} \frac{\partial}{\partial \tilde{h}^{ab}} + \frac{(d-2)(d+1)}{2(d-1)} \tilde{h}_{ij} \right) \quad (3.39)$$

Tal definição, no entanto, fornece a mesma equação de Wheeler-De Witt (3.16.b), independentemente do ordenamento das variáveis canônicas no lado direito dos parênteses de Dirac.

### 3.B - REPRESENTAÇÃO $(k, P, \hat{k}_{ij}, P^{ij})$ :

Dos parênteses de Dirac (2.47.b) nota-se que é necessário redefinir a variável canônica  $\hat{k}_{ij}$ , para que se tenha:

$$\{k'_{ij}{}^{\text{co}}, k'_{kl}(y)\}^* = 0 \quad (3.40)$$

Fazendo-se isto, encontra-se o mesmo  $k'_{ij}$  obtido em [13], e apresentado na seção 1.C :

$$\begin{aligned} k'_{ij} &= \frac{i}{2} \left( \hat{k}_{ij} + \frac{(d-2)}{(d-1)(d-3)} P^{-1} k P_{ij} \right) = \\ &= \frac{i}{2} \left( k_{ij} + \frac{i}{d-3} P^{-1} k P_{ij} \right) \end{aligned} \quad (3.41)$$

que é exatamente  $k'_{ij}$  dado por (1.93), e consequentemente leva à mesma representação de  $\bar{H}_0$  (1.101).

### 3.C - REPRESENTAÇÃO ( $k$ , $P$ , $\tilde{h}^{ij}$ , $\tilde{\Pi}_{ij}$ ):

As etapas do processo de quantização que se segue nessa representação são as seguintes:

1 - As variáveis canônicas  $k$ ,  $P$ ,  $\tilde{h}^{ij}$  e  $\tilde{\Pi}_{ij}$  são associadas a operadores.

2 - Os vínculos de segunda classe:

$$P = - h^{1/2} \quad (3.42.a)$$

$$\hat{k}_{ij} = - (h^{1/2})^{-\alpha-1} \tilde{\Pi}_{ij} \quad (3.42.b)$$

passam a ser identidades entre operadores.

3 - Os parênteses de Dirac (2.47.b), que deverão ser associados a comutadores, indicam que é necessária uma mudança de variável:

$$k' = \frac{2(d-2)}{(d-1)} k \quad (3.43)$$

para que se tenha :

$$\{k'(x), P(y)\}^* = \delta^d(x-y) \longrightarrow$$

$$\longrightarrow [k', P] = i \quad (3.44)$$

Uma representação que satisfaz as relações de comutação é:

$$k' = k' \quad (3.45.a)$$

$$P = -i \frac{\partial}{\partial k}, \quad (3.45.b)$$

e  $\tilde{h}^{ij}$ ,  $\tilde{\Pi}_{ij}$  são os mesmos da representação (3.A)

4 - O vínculo super-hamiltoniano  $H_o$ , em termos das variáveis  $k$ ,  $P$ ,  $\tilde{h}^{ij}$ ,  $\tilde{\Pi}_{ij}$ , será:

$$H_o = P \left( R(h^{ij}) + \frac{(d-1)}{4(d-2)} k'^2 - P^{-2} \tilde{h}^{ia} \tilde{h}^{jb} \tilde{\Pi}_{ij} \tilde{\Pi}_{ab} \right) \quad (3.46)$$

onde ainda falta escrever  $R$  em termos das variáveis  $\tilde{h}^{ij}$ . Para se fazer isto, define-se uma função  $\phi$ :

$$\phi \equiv (h^{1/2})^{\frac{d-3}{2(d-1)}} \quad (3.47)$$

tal que:

$$h_{ij} = (h^{1/2})^{-a} \tilde{h}_{ij} = \phi^{\frac{4}{d-3}} \tilde{h}_{ij} \quad (3.48)$$

Em [19] mostra-se que:

$$R(h^{ij}) = \phi^{\frac{-4}{d-3}} [ R(\tilde{h}^{ij}) - \frac{4(d-2)}{(d-3)} \phi^{-1} \tilde{\Delta} \phi ] \quad (3.49)$$

onde o Laplaceano  $\tilde{\Delta}$  com o símbolo " ~ " significa que as conexões oriundas das derivadas covariantes estão expressas em termos de  $\tilde{h}^{ij}$ .

O vínculo  $H_0$  fica :

$$\begin{aligned} H_0 = P & \{ \phi^{\frac{-4}{d-3}} [ R(\tilde{h}^{ij}) - \frac{4(d-2)}{(d-3)} \phi^{-1} \tilde{\Delta} \phi ] + \\ & + \frac{(d-1)}{4(d-2)} k'^2 - \tilde{h}^{ia} \tilde{h}^{jb} \tilde{\Pi}_{ij} \tilde{\Pi}_{ab} P^{-2} \} \end{aligned} \quad (3.50)$$

Multiplicando (3.50) por  $- \frac{(d-3)}{4(d-2)} P^{-1} \phi^{\frac{(d+1)}{(d-3)}}$  a expressão de  $H_0$  fica:

$$\begin{aligned} \tilde{\Delta} \phi = \frac{(d-3)}{4(d-2)} R(\tilde{h}) \phi - & \frac{(d-1)(d-3)}{16(d-2)^2} K'^2 \phi^{\frac{d+1}{d-3}} + \\ & + \frac{(d-3)}{4(d-2)} \tilde{h}^{ia} \tilde{h}^{jb} \tilde{\Pi}_{ij} \tilde{\Pi}_{ab} \phi^{\frac{-3d+5}{d-3}} = 0 \end{aligned} \quad (3.51)$$

Em [20] mostra-se que esta equação tem solução, e é única, para  $\phi$ , quando  $d = 4$ . Existe também solução para  $d > 4$ , mas não é única.

$$\phi = \phi(\tilde{h}^{ij}, \tilde{\Pi}_{ij}, k') \quad (3.52)$$

Portanto, pode-se escrever uma expressão para o operador  $P$  em termos dos demais operadores desta representação:

$$P = -i\hbar''^2 \phi^{-\frac{2(d-1)}{(d-3)}} = F(\tilde{h}^{ij}, \tilde{\Pi}_{ij}, k') \quad (3.53)$$

Conhecendo a forma do operador  $P$ , dada por (3.45.b), pode-se obter, aplicando a equação acima à função de onda  $\Psi$ , uma equação na forma da equação de Schroedinger:

$$i \frac{\partial \Psi}{\partial k} = F(\tilde{h}^{ij}, \tilde{\Pi}_{ij}, k') \Psi \quad (3.54)$$

cuja forma explícita de  $F$  não é, entretanto, conhecida.

## CAPÍTULO 4

### CONCLUSÃO

O formalismo de primeira ordem para a gravitação, tomando como variáveis canônicas independentes  $\tilde{h}^{ij}$ ,  $\tilde{\Pi}_{ij}$ ,  $k$  e  $\hat{k}_{ij}$ , possibilitou a obtenção de três representações:

1 - Representação ( $\tilde{h}^{ij}$ ,  $\tilde{\Pi}_{ij}$ ,  $T$ ,  $E$ ).

2 - Representação ( $k$ ,  $P$ ,  $\hat{k}_{ij}$ ,  $P^{ij}$ ).

3 - Representação ( $k$ ,  $P$ ,  $\tilde{h}^{ij}$ ,  $\tilde{\Pi}_{ij}$ ).

Na primeira representação foram definidas as seguintes variáveis canônicas:

$$T = c_1 \ln h^{1/2} \quad (4.1.a)$$

$$E = c_2 h^{1/2} \Pi \quad (4.1.b)$$

O vínculo super-hamiltoniano  $H_0$  obtido já era conhecido<sup>[10]</sup>, mas a forma explícita da equação de Wheeler-De Witt, tanto quanto se saiba, é apresentada pela primeira vez como sendo:

$$\frac{\partial^2 \Psi}{\partial T^2} - \tilde{G}_{ijab} \frac{\partial^2 \Psi}{\partial \tilde{h}^{ij} \partial \tilde{h}^{ab}} + \frac{(d-2)(d+1)}{2(d-1)} \tilde{h}^{ij} \frac{\partial \Psi}{\partial \tilde{h}^{ij}} + \\ + \exp(zT/c) R \Psi = 0 \quad (4.2)$$

onde

$$\tilde{G}_{ijab} = \frac{1}{2} (\tilde{h}^{ia} \tilde{h}^{jb} + \tilde{h}^{ib} \tilde{h}^{ja}) - \frac{z}{d-1} \tilde{h}^{ij} \tilde{h}^{ab} \quad (4.3)$$

Além disso esta equação é obtida para qualquer ordenamento das variáveis canônicas, o que é surpreendente, e resolve um dos problemas básicos da equação de Wheeler-De Witt.

Os autovalores da matriz  $\tilde{G}$  foram calculados, encontrando-se todos eles positivos, com a exceção de um deles nulo. Este resultado já era esperado, pois como a derivada na coordenada tipo-tempo já se encontrava separada,  $\tilde{G}$  não deveria apresentar nenhum autovalor negativo.

Na segunda representação a equação de Wheeler-De Witt é a mesma que a obtida em [13].

Na terceira representação foi obtido a equação de Wheeler-De Witt na forma da equação de Schrödinger.

$$i \frac{\partial \phi}{\partial k} = F \tilde{h}^{ij}, \tilde{\Pi}_{ij}, \tilde{k}^i \Psi \quad (4.4)$$

onde  $F$  é obtida da (3.53).

Esta equação já tinha sido apresentada em [8], estando aqui generalizada para d dimensões.

Seguiu-se também neste trabalho, a indicação de [13], de se manipular a ação de Einstein-Hilbert, escrita na forma ADM, por meio de integrações por partes, e, eliminando-se termos de derivadas totais, deixá-la, por exemplo, na forma:

$$\begin{aligned} S = \int d^{d-1}x dt [ & - h^{1/2} h^{ij} \dot{k}_{ij} + k h^{1/2} - \\ & - h^{1/2} N (R + k^2 - k_{ij} k^{ij}) + 2 h^{1/2} N^i (k^j_{,i} - \delta^j_i k)_{,j} ] \end{aligned} \quad (4.5)$$

Estes cálculos, contrariamente ao que se sugeriu em [13], não levou a novas representações, mas sim, às mesmas ali obtidas. Isto, aliado aos resultados aqui apresentados, dá uma boa indicação de que talvez não haja outras representações importantes da equação de Wheeler-De Witt. Deve-se notar também que no formalismo de segunda ordem não se pode usar a parte sem traço e o traço de  $k_{ij}$  como variáveis canônicas para se reproduzir os resultados obtidos aqui pelo formalismo de primeira ordem.

Pretende-se, em futuros trabalhos, aplicar os resultados aqui obtidos, ao mini-superespaço, onde graus de liberdade da métrica são congelados<sup>(21)</sup>, e se estudar as condições de contorno da equação de Wheeler-De Witt dentro das várias propostas da literatura<sup>(22,23,24)</sup>.

Nas representações  $(k, P, \hat{k}_{ij}, P^{ij})$  ou  $(k, P, \tilde{h}^{ij}, \tilde{\Pi}_{ij})$  pode-se verificar se as soluções da equação de Wheeler-De Witt fazem previsões a respeito da expansão do universo. Pretende-se também comparar o ordenamento das variáveis aqui utilizados com outras propostas de ordenamento<sup>(25, 26)</sup>.

Com relação a representação  $(k, P, \tilde{h}^{ij}, \tilde{\Pi}_{ij})$ , pode-se estudar casos particulares da equação de Wheeler-De Witt, e se tentar definir o espaço de Hilbert, já que ela está na forma da equação de Schroedinger. Pode-se também examinar sob que condições a equação (3.51) tem solução única para  $d > 4$  e se procurar sua única solução para  $d = 4$ .

## APÊNDICE A

### FORMALISMO HAMILTONIANO COM VÍNCULOS

Este apêndice é uma breve revisão do formalismo Hamiltoniano com vínculos para um sistema geral<sup>[9,10,14]</sup>. O objetivo de sua apresentação é o de servir de referência aos outros capítulos , onde são tratados especificamente os campos eletromagnético e gravitacional.

#### A.1 - SISTEMAS REGULARES:

Seja  $L$  a Lagrangeana de um sistema:

Seja L a Lagrangeana de um sistema:

$$L = \int d^3x \mathcal{L}(q^i(x), \dot{q}^i(x)) \quad (A.1)$$

onde i varia de 1 a N;  $\mathcal{L}(q^i(x), \dot{q}^i(x))$  é a densidade de Lagrangeana;  $\dot{q}^i(x) = \frac{dq^i}{dt}$  as N velocidades.

Os momenta  $p_i(x)$  canonicamente conjugados aos  $q^i(x)$ , e a matriz Hessiana  $W_{ij}$  são definidos por:

$$p_i(x) \equiv \frac{\partial \mathcal{L}}{\partial \dot{q}_i(x)} \quad (A.2)$$

$$W_{ij} \equiv \frac{\partial p_i(x)}{\partial \dot{q}_j(x)} \quad (A.3)$$

O sistema é dito regular se a matriz  $W_{ij}$  for inversível e, consequentemente, for possível expressar as N velocidades  $\dot{q}^i(x)$  em termos das N coordenadas  $q^i(x)$  e dos N momenta  $p_i(x)$ . Pode-se então construir a Hamiltoniana canônica:

$$H_C = \int d^3x \mathcal{H}_C(q^i(x), p_i(x)) \quad (A.4)$$

onde:

$$\mathcal{H}_C(q^i(x), p_i(x)) = p_i(x)\dot{q}^i(x) - \mathcal{L}(q^i(x), \dot{q}^i(x)) \quad (A.5)$$

sendo substituído os  $\dot{q}^i(x)$  que aparecem em (A.5) por sua expressão nas variáveis  $q^i(x)$  e  $p_i(x)$ .

$$\dot{q}^i = \dot{q}^i(q^j(x), p_j(x)).$$

Do formalismo Hamiltoniano resultam as equações de Hamilton:

$$\dot{q}_i = \frac{\partial \mathcal{H}}{\partial p_i} \quad (\text{A. 6.a})$$

$$\dot{p}_i = - \frac{\partial \mathcal{H}}{\partial q_i} \quad (\text{A. 6.b})$$

É conveniente introduzir o formalismo de parenteses de Poisson e escrever as duas equações acima de outra forma. Sejam então  $A(q^i(x), p_i(x))$  e  $B(q^i(x), p_i(x))$  duas funções das variáveis  $q^i(x)$  e  $p_i(x)$ . Definem-se os parênteses de Poisson entre elas como:

$$\begin{aligned} & \{ A(q^i(x), p_i(x)), B(q^j(x), p_j(x)) \} = \\ &= \int d^3z \left[ \frac{\partial A(q^i(x), p_i(x))}{\partial q^l(z)} \frac{\partial B(q^j(y), p_j(y))}{\partial p_l(z)} - \right. \\ & \quad \left. - \frac{\partial A(q^i(x), p_i(x))}{\partial p_l(z)} \frac{\partial B(q^j(y), p_j(y))}{\partial q^l(z)} \right] \quad (\text{A. 7}) \end{aligned}$$

Os parênteses de Poisson possuem as seguintes propriedades:

$$\{A, B\} = - \{B, A\} \quad (\text{A. 8.a})$$

$$\{A_1 + cA_2, B\} = \{A_1, B\} + c\{A_2, B\} \quad (\text{A. 8.b})$$

$$\{A_1 A_2, B\} = A_1 \{A_2, B\} + \{A_1, B\} A_2 \quad (\text{A. 8.c})$$

$$\{A, \{B, C\}\} + \{C, \{A, B\}\} + \{B, \{C, A\}\} = 0 \quad (\text{A.8.d})$$

onde  $A, B, A_1, A_2$  e  $C$  são funções de  $q_i(x)$  e  $p_i(x)$ , e  $c$  é um número real.

Os parênteses de Poisson entre a Hamiltoniana canônica  $H_C$  e as variáveis canônicas  $q^i(x)$  e  $p_i(x)$  quando calculados, dão respectivamente:

$$\{H_C, q^i(x)\} = \frac{\partial H_C}{\partial p_i(x)} \quad (\text{A.9.a})$$

$$\{H_C, p_i(x)\} = - \frac{\partial H_C}{\partial q^i(x)} \quad (\text{A.9.b})$$

Comparando estas com as equações (A.6.a) e (A.6.b), pode-se escrever as equações de Hamilton na forma:

$$\dot{q}^i(x) = \{q^i(x), H_C\} \quad (\text{A.10.a})$$

$$\dot{p}_i(x) = \{p_i(x), H_C\} \quad (\text{A.10.b})$$

De um modo geral a derivada temporal total de qualquer função das variáveis canônicas  $q^i(x)$  e  $p_i(x)$  pode ser escrita como:

$$\dot{A}(q(x), p(x)) = \{A, H_C\} \quad (\text{A.10.c})$$

## A.2 - SISTEMAS SINGULARES E VÍNCULOS

Se  $W_{ij}$  não é inversível, pode-se então expressar algumas velocidades  $\dot{q}^j$  em termos das coordenadas  $q^i$ , de alguns momenta  $p_k$  e das velocidades restantes  $\dot{q}^l$ :

$$\dot{q}^j = f^j(q^i, p_k, \dot{q}^l) \quad (\text{A.11})$$

Surgem também relações entre os momenta  $p_k$  e as coordenadas  $q^i$ :

$$\phi^m(q^i, p_k) \approx 0 \quad (\text{A.12})$$

Estas relações recebem o nome de vínculos primários. Note que nelas é usado um símbolo diferente do símbolo de igualdade. Este aqui ( $\approx$ ) é lido como fracamente igual pois pode ocorrer que os parênteses de Poisson  $\phi^m$  com alguma função das variáveis canônicas  $q^{i\infty}$  e  $p_k^{i\infty}$  sejam diferentes de zero. Portanto não se pode considerar este símbolo " $\approx$ " como um símbolo de igualdade antes de se calcular os parênteses de Poisson envolvendo  $\phi^m$ .

A Hamiltoniana canônica é calculada da expressão abaixo:

$$\begin{aligned} H_C(q^{i\infty}, p_k^{i\infty}, \dot{q}^{l\infty}) &= \\ &= p_\alpha \circ q^\alpha + p_m \circ \dot{q}^m - \mathcal{L}(q^{i\infty}, p_k^{i\infty}, \dot{q}^{l\infty}) \end{aligned} \quad (\text{A.13})$$

onde deve ser substituído em  $\dot{q}^a$  a função  $f(q, p_k, \dot{q}^l)$ , e em  $p^m$  a expressão proveniente dos vínculos primários  $\phi^m$  substituindo-a por  $H_T$  (Hamiltoniana total):

$$H_T = H_C + \int d^3x \ u_m \phi^m(q^i(x), p_k(x)) \quad (A.14)$$

onde  $u_m$  são os multiplicadores que devem ser variados independentemente das coordenadas e momenta. O cálculo variacional leva às seguintes equações:

$$\dot{q}^i = \frac{\partial \mathcal{H}_C}{\partial p_i} + u_m \frac{\partial \phi^m}{\partial p_i} \quad (A.15.a)$$

$$\dot{p}_i = - \frac{\partial \mathcal{H}_C}{\partial q^i} - u_m \frac{\partial \phi^m}{\partial q^i} \quad (A.15.b)$$

$$\phi^m = 0 \quad (A.15.c)$$

Comparando estas equações com a derivada temporal total de uma função  $g(q^i(x), p_i(x))$ , das variáveis  $q^i(x)$  e  $p_i(x)$ , e com a expressão para os parênteses de Poisson entre duas funções de  $q^i(x)$  e  $p_i(x)$  (A.8), mostra-se que:

$$\begin{aligned} \dot{g}(q^i(x), p_i(x)) &= \{g, H_C\} + \\ &+ \int d^3y \ u_m \{g, \phi^m(q^i(y), p_i(y))\} \approx \{g, H_T\} \end{aligned} \quad (A.16)$$

Pode-se calcular a derivada temporal total dos vínculos primários  $\phi^m(q^i(x), p_i(x))$  pela equação (A.16), que, para a consistência da teoria, deverá ser nula:

$$\{\phi^m(q^i(\infty), p_i(\infty)), H_T\} = \dot{\phi}^m(q^i(\infty), p_i(\infty)) \approx 0 \quad (\text{A.17})$$

A verificação das condições de consistência para cada vínculo pode levar a quatro resultados possíveis:

- 1- Pode levar a inconsistências, como por exemplo,  $\lambda \approx 0$ , e consequentemente a teoria ser inconsistente.
- 2- Pode levar a combinações lineares dos vínculos primários, satisfazendo a equação (A.17) identicamente.
- 3- Pode levar a novas equações que independam dos multiplicadores  $u_m$  e involvam somente os  $q^i$  e  $p_i$ , constituindo assim novos vínculos. Estes novos vínculos, que serão denotados por  $\chi_n$ , serão chamados de vínculos secundários.
- 4- Pode impor condições aos multiplicadores  $u_m$ :

Se a condição de consistência de algum dos vínculos cair no terceiro caso e levar a um novo vínculo, dever-se-á fazer a verificação de sua consistência também, tornando a cair num dos três últimos casos, repetindo a seguir, o processo até que não surja mais nenhum outro vínculo secundário.

### A.3 - VÍNCULOS DE PRIMEIRA E SEGUNDA CLASSES:

Apesar da origem distinta, a divisão dos vínculos em primários e secundários não é de grande importância. Uma divisão mais importante deles é a de vínculos de primeira e segunda classes que é definida a seguir:

Vínculos (ou funções) de primeira classe são os (as) que possuem parenteses de Poisson nulos com todos os vínculos, e aquêles que não forem de primeira classe deverão ser de segunda classe.

Os vínculos serão denotados por:

$\phi_a$  → Vínculos primários de primeira classe.

$\phi_{\alpha}$  → Vínculos primários de segunda classe.

$\chi_a$  → Vínculos secundários de primeira classe.

$\chi_{\alpha}$  → Vínculos secundários de segunda classe.

Na notação acima, índices sem linha são referentes a vínculos primários e, com linha, a secundários; índices latinos são referentes a vínculos de primeira classe e, índices gregos, a vínculos de segunda classe.

Com esta classificação a hamiltoniana total, que agora se escreve:

$$H_T = H_C + \int d^3x \ u_a \phi^a + \int d^3x \ u_{\beta} \phi^{\beta} \quad (A.18),$$

é, devido à consistência dos vínculos, uma função de primeira

classe e pode-se escrever o que segue abaixo:

$$\{\phi_\alpha, H_T\} = \{\phi_\alpha, H_C\} + \int d^3x \{\phi_\alpha, \phi_m\} u^m = \\ = \{\phi_\alpha, H_C\} \approx 0 \quad (\text{A.19.a})$$

$$\{x_\alpha, H_T\} = \{x_\alpha, H_C\} + \int d^3x \{x_\alpha, \phi_m\} u^m = \\ = \{x_\alpha, H_C\} \approx 0 \quad (\text{A.19.b})$$

$$\{\phi_\alpha, H_T\} = \{\phi_\alpha, H_C\} + \int d^3x \{\phi_\alpha, \phi_\beta\} u^\beta + \int d^3x \{\phi_\alpha, \phi_\alpha\} u^\alpha = \\ = \{\phi_\alpha, H_C\} + \int d^3x \{\phi_\alpha, \phi_\beta\} u^\beta \approx 0 \quad (\text{A.19.c})$$

$$\{x_\alpha, H_T\} = \{x_\alpha, H_C\} + \int d^3x \{x_\alpha, \phi_\beta\} u^\beta + \int d^3x \{x_\alpha, \phi_\alpha\} u^\alpha = \\ = \{x_\alpha, H_C\} + \int d^3x \{x_\alpha, \phi_\beta\} u^\beta \approx 0 \quad (\text{A.19.d})$$

Estas equações serão úteis na próxima seção.

#### A.4 - PARENTESES DE DIRAC:

Neste estágio, deve-se reduzir ao máximo o número de vínculos de segunda classe, formando, através da combinação linear destes, vínculos de primeira classe. Tendo isto sido feito, então a

matriz C dos parênteses de Poisson entre os vínculos de segunda classe independentes:

$$C = \begin{bmatrix} \{\phi_\alpha, \phi_\beta\} & \{\phi_\alpha, \phi_{\beta'}\} \\ \{x_\alpha, \phi_\beta\} & \{x_\alpha, x_{\beta'}\} \end{bmatrix} \quad (\text{A.20})$$

possui inversa<sup>(10),(14)</sup>  $C^{-1}$ .

Seja  $\{\xi_\mu\}$  o conjunto dos vínculos de segunda classe  $\phi_\alpha$  e  $x_\alpha$ . Então, pode-se reescrever as equações (A.19.c) e (A.19.d) como:

$$\begin{aligned} \{\xi_\mu, H_C\} + \int d^3x \{\xi_\mu, \phi_\beta\} u^\beta &= \\ = \{\xi_\mu, H_C\} + \int d^3x C_{\mu\beta} u^\beta &\approx 0 \end{aligned} \quad (\text{A.21})$$

Multiplicando esta última pela matriz inversa  $C^{-1}$  tem-se:

$$u^\alpha \approx - \int d^3x (C^{-1})^{\alpha\mu} \{\xi_\mu, H_C\} \quad (\text{A.22})$$

e

$$\int d^3x (C^{-1})^{\alpha'\mu} \{\xi_\mu, H_C\} \approx 0 \quad (\text{A.23})$$

A derivada temporal total de uma função  $A(q^i(\infty), p_i(\infty))$  é:

$$\begin{aligned} \dot{A} &\approx \{A, H_C\} + \int d^3x \{A, \phi_\alpha\} u^\alpha + \int d^3x \{A, \phi_\alpha\} u^\alpha = \\ &= \{A, H_C\} + \int d^3x \{A, \phi_\alpha\} u^\alpha - \int d^3x \{A, \phi_\alpha\} (C^{-1})^{\alpha'\mu} \{\xi_\mu, H_C\} = \end{aligned}$$

$$= \{A, H_C\} + \int d^3x \{A, \phi_\alpha\} u^\alpha - \int d^3x \{A, \xi_\nu\} (C^{-1})^{\nu\mu} \{\xi_\mu, H_C\} \quad (A.24)$$

Chega-se assim à seguinte expressão para  $H_T$ :

$$H_T = H_C + u^\alpha \phi_\alpha - \xi_\nu (C^{-1})^{\nu\mu} \{\xi_\mu, H_C\} \quad (A.25)$$

Definindo-se os parênteses de Dirac entre duas funções  $A_1(q, p)$  e  $A_2(q, p)$  por:

$$\{A_1, A_2\}^* = \{A_1, A_2\} - \int d^3x \{A_1, \xi_\nu\} (C^{-1})^{\nu\mu} \{\xi_\mu, A_2\} \quad (A.26),$$

então:

$$\begin{aligned} \{A, H_T\}^* &= \{A, H_T\} - \int d^3x \{A, \xi_\nu\} (C^{-1})^{\nu\mu} \{\xi_\mu, H_T\} \approx \\ &\approx \{A, H_T\} \end{aligned} \quad (A.27),$$

pois todos os  $\{\xi_\mu, H_T\}$  se anulam já que  $H_T$  é de primeira classe. Então  $\hat{A}$  pode ser escrito como:

$$\hat{A} = \{A, H_T\}^* \quad (A.28)$$

Além disso, os vínculos que eram considerados como igualdades fracas, podem agora, trabalhando-se com parênteses de Dirac, ser considerados como igualdades fortes, no sentido de que os seus parênteses de Dirac com qualquer função das variáveis canônicas são nulos, como é mostrado abaixo:

$$\{A^i, \xi_\lambda\}^* = \{A^i, \xi_\lambda\} - \int d^3x \{A^i, \xi_\nu\} (C^{-1})^{\nu\mu} \{\xi_\mu, \xi_\lambda\} = \\ = \{A^i, \xi_\lambda\} - \{A^i, \xi_\nu\} \xi_\lambda^\nu = 0 \quad (\text{A.30})$$

### A.5 - VÍNCULOS GERADORES DE TRANSFORMAÇÕES DE CALIBRE:

Se houver vínculos secundários de primeira classe na teoria,  $H_T$  não é a Hamiltoniana mais geral possível que conserva todos os vínculos. Pode-se ainda estende-la adicionando uma combinação linear destes vínculos secundários de primeira classe  $\chi_a$ :

$$H_E \equiv H_T + v^a \chi_a = \\ = H_C + u^a \phi_a + v^a \chi_a - \xi_\nu (C^{-1})^{\nu\mu} \{ \xi_\mu, H_C \} \quad (\text{A.31}),$$

onde os  $v^a$  são funções arbitrárias. Essa Hamiltoniana estendida continuará conservando todos os vínculos. Com ela, a evolução no tempo de uma função  $A(q^i(\infty), p_i(\infty))$  será dada por:

$$\dot{A} = \{A, H_E\} = \{A, H_C\} + u^a \{A, \phi_a\} + \\ + v^a \{A, \chi_a\} - \{A, \xi_\nu\} (C^{-1})^{\nu\mu} \{ \xi_\mu, H_C \} \quad (\text{A.32})$$

Na equação (A.32), há funções arbitrárias  $u^a$  e  $v^a$ . Portanto

a evolução temporal de A não é unívoca. O que ocorre é que nem todas as variáveis canônicas são observáveis, o número destas é maior do que o necessário, ocasionando o que se chama de arbitrariedade de calibre na teoria. Dado um estado físico inicial, existe mais de um conjunto de variáveis que levam a um mesmo estado físico posterior. Para se eliminar estes graus de liberdade espúrios, é preciso impor novos vínculos independentes dos demais, e que tenham parênteses de Poisson diferentes de zero com os vínculos de primeira classe  $\phi_a$  e  $\chi_a$ . A condição de consistência para estes novos vínculos, que denotaremos por  $g_b$  e  $g_{b'}$ , implicará na determinação das funções  $u^a$  e  $v^{a'}$ . A evolução temporal de A é agora unívoca.

A imposição dos vínculos  $g_b$  e  $g_{b'}$ , dá-se o nome de fixação de calibre e os vínculos de primeira classe  $\phi_a$  e  $\chi_a$ , são geradores de transformações de calibre, isto é, são geradores daquelas transformações canônicas que não mudam o estado físico do sistema.

Não existe uma demonstração geral de que vínculos secundários de primeira classe também sejam geradores de transformações de calibre, e que a Hamiltoniana estendida seja a geradora das transformações temporais nas variáveis canônicas. Há no entanto, razões para se postular que qualquer vínculo de primeira classe é gerador de transformações de calibre. Uma delas é que a distinção entre vínculos primários e secundários, que é baseada na Lagrangeana, não é natural do ponto de vista Hamiltoniano, enquanto que a classificação em primeira e segunda classes provém dos parênteses de Poisson, que fazem parte da estrutura da formulação Hamiltoniana. Além disso todas as teorias Hamiltonianas estudadas até hoje confirmam a conjectura de que qualquer vínculo

de primeira classe é gerador de transformações de calibre.

De acordo com o que foi discutido nos últimos parágrafos, pode-se concluir que o número de graus de liberdades da teoria será:

$$n = \frac{2N - n_2 - n_1}{2} \quad (\text{A.33}),$$

onde  $n_2$  é o número de vínculos de segunda classe, e  $n_1$  é o número de vínculos de primeira classe, que é igual ao dos novos vínculos impostos  $g_t$  e  $g_b$ .

## APÊNDICE B

### FORMALISMO ADM

Numa teoria relativística a coordenada temporal é tratada indistintamente das coordenadas espaciais. Porém quando se trabalha na formulação Hamiltoniana, definem-se momenta canônicos como derivadas da Lagrangeana em termos das "velocidades", e isto quebra a simetria quadridimensional, reservando à coordenada temporal um papel de destaque.

Na formulação Hamiltoniana da teoria graviacional as equações são particularmente complicadas e o significado físico delas não fica muito visível. É conveniente então utilizar um formalismo desenvolvido por Arnowitt, Deser e Misner<sup>18,19,20</sup>, e conhecido como formalismo ADM, que permite uma melhor visão geométrica das equações, tornando-as, neste sentido, mais simples.

Este apêndice é uma introdução ao formalismo ADM. Ele é

dividido em tres seções: A primeira seção trata da separação do espaço-tempo no espaço e no tempo; na segunda são discutidos os conceitos de curvatura extrínseca e curvatura intrínseca, tanto do ponto de vista qualitativo quanto quantitativo; a última mostra de forma resumida os principais passos para se escrever a ação de Einstein-Hilbert na forma ADM.

### B.1 - SEPARAÇÃO 3+1:

Seja  $X^\alpha = X^\alpha(x^a)$  uma hipersuperfície tipo espaço arbitrário num espaço-tempo de topologia  $\mathbb{R} \times M^{d-1}$ . Em cada ponto dela há uma base de 3 vetores  $X_a^\alpha = X^\alpha, _a$  tangentes à hipersuperfície, e um vetor  $n^\alpha$  unitário e normal à mesma.

$$X_a^\alpha n_\alpha = 0 \quad (\text{B.1.a})$$

$$n^\alpha n_\alpha = -1 \quad (\text{B.1.b})$$

Essa hipersuperfície pode ser deformada ao longo do espaço-tempo de modo que se tenha uma família de hipersuperfícies de 1 parâmetro  $t$ :  $X^\alpha = X^\alpha(x^a, t)$ .

O vetor deformação  $N^\alpha \equiv \dot{X}^\alpha$ , que é mostrado na figura B.1 abaixo, faz a ligação de pontos em duas hipersuperfícies que

apresentem as mesmas coordenadas  $x^\alpha$ . Esse vetor pode ser escrito em termos dos vetores da base  $\{n^\alpha, X_\alpha^\alpha\}$ , como:

$$N^\alpha \equiv N n^\alpha + N^\alpha X_\alpha^\alpha \quad (\text{B.2})$$

onde  $N$  e  $N^\alpha$  são as duas componentes conhecidas como funções lapse e shift respectivamente.

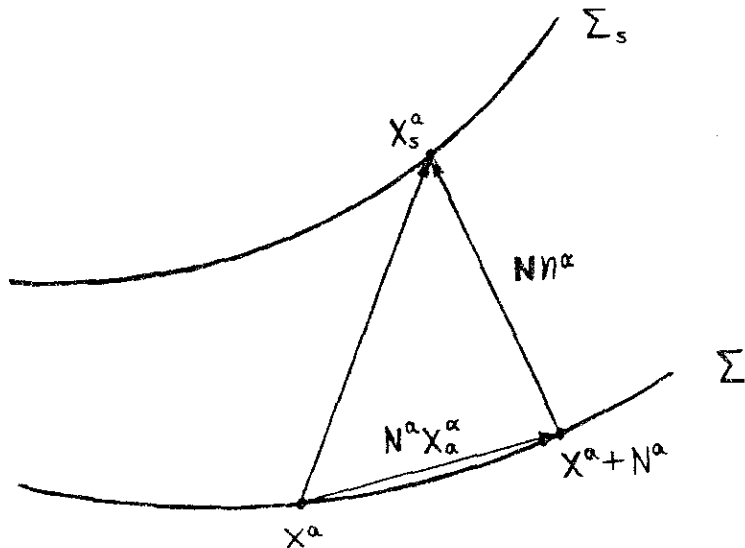


FIGURA B.1

A figura mostra o vetor deformação  $N^\alpha$  fazendo a ligação entre o ponto  $x^\alpha$  da hipersuperfície inferior  $\Sigma$ , com o ponto  $x_s^\alpha$  da hipersuperfície superior  $\Sigma_s$ , e as suas componentes na base  $\{n^\alpha, X_\alpha^\alpha\}$ .

As componentes de um campo arbitrário  $A_{\mu\nu}$  na base  $\{n^\alpha, X_\alpha^\alpha\}$  são:

$$A_{00} = A_{\alpha\beta} n^\alpha n^\beta \quad (\text{B.3.a})$$

$$A_{0i} = A_{\alpha\beta} n^\alpha X_i^\beta \quad (\text{B.3.b})$$

$$A_{ij} = A_{\alpha\beta} X_i^\alpha X_j^\beta \quad (\text{B.3.c})$$

A variação dessas componentes, quando a hipersuperfície  $X^\alpha$  é deformada, indicam como o campo  $A_{\mu\nu}$  varia ao longo do tempo.

A decomposição do espaço-tempo é particularmente simples para o campo gravitacional, pois duas das componentes de  $g_{\mu\nu}$  na base  $\{n^\alpha, X_a^\alpha\}$ , de acordo com as equações (B.1.a) e (B.1.b), são:

$$g_{\perp\perp} = g_{\alpha\beta} n^\alpha n^\beta = -1 \quad (\text{B.4.a})$$

$$g_{\perp i} = g_{\alpha\beta} n^\alpha X_i^\beta = 0 \quad (\text{B.4.b})$$

A outra componente será representada por  $h_{ij}$ :

$$h_{ij} \equiv g_{\alpha\beta} X_i^\alpha X_j^\beta \quad (\text{B.5})$$

A partir da decomposição anterior, pode-se obter as componentes do campo  $g_{\mu\nu}$  numa outra base mais geral, onde o vetor  $n^\alpha$  é substituído pelo vetor  $N^\alpha$  que é tipo tempo, mas não necessariamente ortogonal às hipersuperfícies tipo espaço.

$$n^\alpha = \frac{N^\alpha}{N} - \frac{N^\alpha}{N} X_a^\alpha \quad (\text{B.6})$$

As suas componentes são:

$$\begin{aligned} g'_{00} &= g_{\alpha\beta} N^\alpha N^\beta = g_{\alpha\beta} (N n^\alpha + N^\alpha X_a^\alpha)(N n^\beta + N^\beta X_b^\beta) = \\ &= g_{\alpha\beta} (N^2 n^\alpha n^\beta + N N^\alpha X_a^\alpha + N N^\beta X_b^\beta + N^\alpha N^\beta X_a^\alpha X_b^\beta) = \end{aligned}$$

$$= -N^2 + N^\alpha N^b h_{ab} = -N^2 + N^\alpha N_\alpha \quad (\text{C.B. 7}),$$

onde  $N_\alpha = h_{ab} N^b$

$$g'_{\alpha i} = N_i \quad (\text{C.B. 8.a})$$

$$g'_{ij} = g_{\alpha\beta} X_i^\alpha X_j^\beta =: h_{ij} \quad (\text{C.B. 8.b}),$$

ou, representando na forma matricial:

$$g'_{\alpha\beta} = \begin{pmatrix} -N^2 + N^\alpha N_\alpha & N_i \\ N_j & h_{ij} \end{pmatrix} \quad (\text{C.B. 9})$$

É fácil verificar que sua inversa é:

$$g'^{\alpha\beta} = \begin{pmatrix} -\frac{1}{N^2} & \frac{N^m}{N^2} \\ \frac{N^k}{N^2} & h^{km} - \frac{N^k N^m}{N^2} \end{pmatrix} \quad (\text{C.B. 10})$$

onde  $h^{km}$  é a inversa de  $h_{ij}$ .

Pode-se representar  $n^\alpha$  na base  $\{N^\alpha, X_a^\alpha\}$  de uma outra maneira:

$$n^\alpha = \left( \frac{1}{N}, -\frac{N^\alpha}{N} \right) \quad (\text{B.11})$$

$$n_\beta = g'_{\alpha\beta} \quad n^\alpha = (-N, 0, 0, 0) \quad (\text{B.12})$$

## B.2 - CURVATURAS INTRÍNSECA E EXTRÍNSECA

O tensor  $h_{ij}$ , que é a projeção de  $g_{\alpha\beta}$  sobre a hipersuperfície, pode de fato ser considerado como sendo a métrica do tri-espacô. A curvatura intrínseca da hipersuperfície é então definida e calculada da mesma forma que a curvatura do espaço-tempo, só que, usando as derivadas espaciais de  $h_{ij}$  no lugar das derivadas espaço-temporais de  $g_{\mu\nu}$ . A medida mais natural da curvatura intrínseca será, portanto, o escalar de curvatura do tri-espacô  ${}^3R \equiv h^{ij} R_{ij}$ .

A curvatura extrínseca não possui análogo no espaço-tempo, pois pressupõe um espaço exterior. Será mais fácil compreender o seu significado, olhando para as figuras (B.2.a) e (B.2.b) que representam duas superfícies bi-dimensionais num espaço Euclidiano tri-dimensional.



FIGURA B.2.a

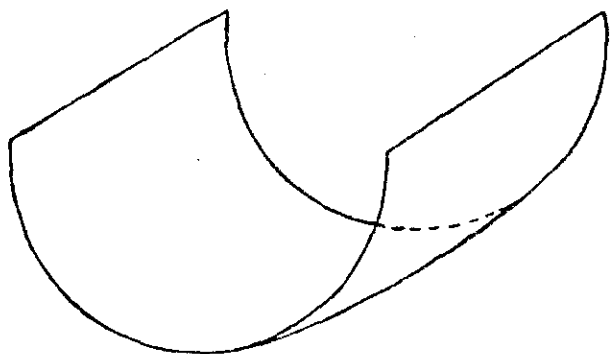


FIGURA B.2.b

A figura (B.2.a) representa um plano, que tem curvaturas intrínseca e extrínseca nulas. A figura (B.2.b) representa o mesmo plano, agora curvado, que apesar de ainda possuir curvatura intrínseca nula, possui agora curvatura extrínseca diferente de zero.

Do ponto de vista quantitativo, a curvatura extrínseca deverá ter um valor proporcional à derivada covariante do vetor  $n^\alpha$  no espaço-tempo (ver figura B.3).

$$k_{\alpha\beta} = - \perp^\mu_\alpha \perp^\nu_\beta n_{(\mu; \nu)} \quad (\text{B.13})$$

onde os parênteses em torno dos índices significam simetrização e  $\perp^\mu_\alpha$  é o projetor sobre a hipersuperfície.

$$\perp^\mu_\alpha = \delta^\mu_\alpha + n^\mu n_\alpha \quad (\text{B.14})$$



FIGURA B.3

A figura mostra em linha pontilhada o vetor  $n^\alpha$  transportado paralelamente do ponto  $x^i$  para o ponto  $x^i + dx^i$  sobre a hipersuperfície  $\Sigma$ .

As componentes mais importantes são as  $k_{ij}$ :

$$\begin{aligned}
 k_{ij} &= -(\delta_i^\mu + n_i^\mu n_j) (\delta_j^\nu + n_j^\nu n_i) n_{(\mu;\nu)} = \\
 &= -n_{(i;j)} = n_\alpha \Gamma_{ij}^\alpha = n_0 \Gamma_{ij}^0 = \\
 &= -\frac{1}{2} N g^{0\alpha} (g_{\alpha i,j} + g_{\alpha j,i} - g_{ij,\alpha}) = \\
 &= \frac{1}{2N} (N_{i,j} + N_{j,i} - \hat{h}_{ij}) - \frac{N^k}{2N} (h_{ki,j} + h_{kj,i} - h_{ij,k}) = \\
 &= \frac{1}{2N} (N_{i,j} + N_{j,i} - \hat{h}_{ij} - z N_k \Gamma_{ij}^k) = \\
 &= \frac{1}{2N} (N_{i,j} + N_{j,i} - \hat{h}_{ij}) \quad (B.15),
 \end{aligned}$$

onde as barras "  $\bar{ }$  " indicam derivadas covariantes em relação ao tri-espaco.

As outras componentes são:

$$k_{00} = N^i N^j k_{ij} \quad (B.16.a)$$

$$k_{oi} = N^j k_{ij} \quad (B.16.b)$$

### B.3 - AÇÃO DE EINSTEIN-HILBERT NA FORMA ADM

O objetivo agora é escrever a ação:

$$S = \int d^d x (-g)^{1/2} {}^4R \quad (B.17)$$

em termos das quantidades  $N$ ,  $N^i$ ,  $h_{ij}$  e  $k_{ij}$ , que são as relevantes na formulação ADM.

A raiz quadrada de  $-g$  será:

$$(-g)^{1/2} = N h^{1/2} \quad (B.18)$$

onde  $h \equiv \det h^{ij}$

${}^4R$  será escrito simplesmente como  $R$  até o final de seu cálculo:

$$R = g^{\mu\nu} R_{\mu\nu} = g^{\mu\nu} R^o_{\mu\rho\nu} =$$

$$= g^{00} R^l_{0i0} + g^{0i} R^o_{0oi} + g^{oi} R^l_{oli} -$$

$$\begin{aligned}
& - g^{io} R^l_{iol} + g^{ij} R^o_{ioj} + g^{ij} R^l_{ilj} = \\
& = g^{oo} R^i_{oi0} + g^{oi} R^o_{ooi} + g^{oi} g^{lk} g_{oo} R^o_{kli} - \\
& - g^{oi} g^{lk} g_{jo} R^j_{kli} - g^{io} g^{lo} R_{oilol} - g^{io} g^{lk} g_{oo} R^o_{lki} - \\
& - g^{io} g^{lk} g_{oj} R^j_{lki} + g^{ij} R^o_{ioj} + g^{ij} R^l_{ilj} \quad (B.19)
\end{aligned}$$

Deve-se calcular apenas os tensores  $R^m_{ijk}$ ,  $R^o_{iok}$ ,  $R^o_{oi0}$  e  $R^o_{ijk}$  usando-se a expressão geral de  $R^\mu_{\nu\alpha\beta}$  em termos das conexões:

$$R^\mu_{\nu\alpha\beta} = \Gamma^\mu_{\nu\beta,\alpha} - \Gamma^\mu_{\nu\alpha,\beta} - \Gamma^\mu_{\sigma\alpha} \Gamma^\sigma_{\sigma\beta} - \Gamma^\mu_{\sigma\beta} \Gamma^\sigma_{\nu\alpha} \quad (B.20)$$

Antes porém, calcula-se as componentes da conexão:  $\Gamma^o_{oo}$ ,  $\Gamma^j_{ik}$ ,  $\Gamma^o_{oi}$ ,  $\Gamma^j_{io}$  e  $\Gamma^o_{ij}$ , usando-se a expressão geral de  $\Gamma^\rho_{\mu\nu}$  em termos das componentes da métrica:

$$\Gamma^\rho_{\mu\nu} = \frac{1}{2} g^{\rho\sigma} (g_{\rho\mu,\nu} + g_{\rho\nu,\mu} - g_{\mu\nu,\rho}) \quad (B.21)$$

Subentende-se que  $\Gamma^\rho_{\mu\nu}$  é a conexão no espaço-tempo  ${}^4\Gamma^\rho_{\mu\nu} = 0$ . Índice 4 será omitido até o final do cálculo:

$$\begin{aligned}
\Gamma^o_{oi} &= g^{oo} \Gamma_{ooi} + g^{ol} \Gamma_{loi} = \\
&= - \frac{1}{2N^2} (g_{oo,i} + g_{oi,o} + g_{io,o}) + \frac{1}{2} \frac{N^l}{N^2} (g_{lo,i} + g_{li,o} + g_{io,l}) = \\
&= - \frac{1}{2N^2} [(N_k N^k)_{,i} - (N^2)_{,i}] + \frac{N^l}{N^2} (N_{l,i} + \hat{h}_{li} - N_{i,l}) =
\end{aligned}$$

$$\begin{aligned}
 &= \frac{1}{N} N_{,i} - \frac{1}{N^2} N^k N_{k,i} + \frac{1}{N^2} N^k N_k h^{kl} ,_i + \\
 &+ \frac{1}{2N^2} (N_{l,i} + \hat{h}_{ii} - N_{i,l}) = \\
 &= \frac{1}{N} N_{,i} - \frac{1}{N^2} N_l N_k {}^3\Gamma^{ik}_{ml} h^{lm} - \frac{1}{2N^2} (N_{j,i} + N_{i,j} - \hat{h}_{ij}) = \\
 &= \frac{1}{N} N_{,i} - \frac{1}{2N^2} (N_{j/i} + N_{i/j} - \hat{h}_{ij}) = \\
 &= \frac{1}{N} N_{,i} - \frac{1}{N} N^j k_{ij} \quad (\text{B.23.a})
 \end{aligned}$$

/

De forma semelhante pode-se obter, para as outras componentes da conexão as seguintes expressões:

$$\Gamma^0_{oo} = \frac{1}{N} [ \hat{N} + N^i N_{,i} - N^i N_j k_{ij} ] \quad (\text{B.23.b})$$

$$\Gamma^j_{ik} = {}^3\Gamma^j_{ik} + \frac{1}{N} k_{ik} \quad (\text{B.23.c})$$

$$\Gamma^j_{io} = N [ -k^j_i + (\frac{1}{N} N^j)_{,i} + \frac{1}{N^2} N^j N^m k_{im} ] \quad (\text{B.23.d})$$

$$\Gamma^0_{ij} = - \frac{1}{N} k_{ij} \quad (\text{B.23.e})$$

Cálculo de  $R^0_{ijk}$ :

$$\begin{aligned}
 R^0_{ijk} &= \Gamma^0_{ik,j} - \Gamma^0_{ij,k} + \Gamma^0_{j\sigma} \Gamma^\sigma_{ik} - \Gamma^0_{k\sigma} \Gamma^\sigma_{ij} = \\
 &= \Gamma^0_{ik,j} - \Gamma^0_{ij,k} + \Gamma^0_{j0} \Gamma^0_{ik} + \Gamma^0_{jl} \Gamma^l_{ik} -
 \end{aligned}$$

$$\begin{aligned}
 & - \Gamma_{k0}^0 \Gamma_{ij}^0 - \Gamma_{kl}^0 \Gamma_{ij}^l = \\
 & = (-\frac{1}{N} k_{ik})_{,j} - (-\frac{1}{N} k_{ij})_{,k} + \\
 & + (-\frac{1}{N} N_{,j} - \frac{1}{N} N^p k_{jp}) (-\frac{1}{N} k_{lk}) + \\
 & + (-\frac{1}{N} k_{jl}) (\overset{3}{\Gamma}_{ik}^l + \frac{1}{N} k_{ik}) - \\
 & - (-\frac{1}{N} N_{,k} - \frac{1}{N} N^p k_{kp}) (-\frac{1}{N} k_{ij}) - \\
 & - (-\frac{1}{N}) (\overset{3}{\Gamma}_{ij}^l + \frac{1}{N} k_{ij}) = \\
 & = -\frac{1}{N} (k_{ik,j} + \overset{3}{\Gamma}_{ij}^l k_{lk} + k_{ij,k} - \overset{3}{\Gamma}_{ik}^l k_{lj}) \quad (B.24)
 \end{aligned}$$

Somando e subtraindo o mesmo termo

$$\frac{1}{N} \overset{3}{\Gamma}_{kj}^l k_{il} - \frac{1}{N} \overset{3}{\Gamma}_{kj}^l k_{il}$$

a componente  $R_{ijk}^0$  fica:

$$R_{ijk}^0 = \frac{1}{N} (k_{ij,k} - k_{ik,j}) \quad (B.25.a)$$

Cálcula-se as outras 3 componentes de maneira semelhante, obtendo-se as seguintes expressões para elas:

$$R_{ijk}^m = \overset{3}{R}_{ijk}^m + \frac{1}{N} N^m (k_{ik,j} - k_{ij,k}) + k_j^m k_{ik} - k_k^m k_{ij} \quad (B.25.b)$$

$$\begin{aligned}
 R_{iok}^0 = & -\frac{1}{N} k_{ik} - \frac{1}{N} N_{,i,k} + \frac{1}{N} N_{,i}^l k_{lk} + \\
 & + \frac{1}{N} (N^l k_{il})_{,k} - k_i^l k_{lk} \quad (B.25.c)
 \end{aligned}$$

$$R_{010}^0 = \frac{1}{N} [ \overset{\circ}{k}_{ik} N^k + N_{ik} N^k - N_{ik}^l k_{lk} N^k - N_{ik}^l N^k k_{ll} - \\ - N^l N^k k_{kl/l} + N N^k k_{ll} k^l_k ] \quad (B.25.d)$$

Substituindo as expressões acima em (B.19), depois de alguma álgebra, obtém-se:

$$R = \frac{1}{N} [ -2 h^{ij} \overset{\circ}{k}_{ij} - h^{ij} k_{ij} + N ( {}^3R + k^2 - k_{ij} k^{ij} ) - \\ - 2 N^i k^j_i - \delta^j_i k_{jj} - 2 ( N_i - k_{ij} N^j )^l ] \quad (B.26)$$

Este resultado pode ser generalizado para um espaço-tempo de d dimensões, sendo necessário apenas substituir  ${}^3R$  por  $\tilde{R}$  para ficar de acordo com a convenção. Ele é usado no capítulo 1.

é usado no capítulo 1 .

## BIBLIOGRAFIA

- 1 - S. Weinberg, "Os Tres Primeiros Minutos", (Editora Gradiva).
- 2 - A. Einstein, " The Principle of Relativity ", ( Dover Publications, Inc. 1952).
- 3 - S. W. Hawking e R. Penrose, Proc. Roy. Soc. Lond. A. 314, 529 (1970).
- 4 - A. Einstein, " The Meaning of Relativity ", ( Princeton University ).
- 5 - C. J. Isham, Imperial College preprint / TP / 84-85 / 31.
- 6 - B. S. De Witt, " Quantum Theory of Gravity II. The Manifestly Covariant Theory ", Phys. Rev. 162, 1195 (1967); e " Quantum Theory of Gravity III. Applications of the Covariant Theory ", Phys. Rev. 162, 1239 (1967).
- 7 - S. Deser e P. Von Nieuwenhuizen, " One Loop Divergences of Quantized Einstein-Maxwell Fields ", Phys. Rev. D10, 401 (1974).
- 8 - K. Kuchar, " Canonical Methods of Quantizations ", in "Quantum Gravity II", C. J. Isham, R. Penrose e D. W. Sciama, Eds. (Clarendon Press, Oxford, 1981).

- 9 - A. J. Hanson, T. Regge e C. Teitelboim, " Constrained Hamiltonian Systems " (Accademia Nazionale dei Lincei, Rome, 1976).
- 10 - K. Sundermeyer, " Constrained Dynamics with Applications to Yang-Mills Theory, General Relativity, Classical Spin, Dual String Model ", Lecture Notes in Physics 169 ( Springer, Berlin, 1982 ).
- 11 - B.S. De Witt, " Quantum Theory of Gravity I. The Canonical Theory ", Phys. Rev. 160, 1113 (1967).
- 12 - J.A. Wheeler 1968, " Superspace and the Nature of Quantum Geometrodynamics ", in Battelle Rencontres ed. by ( De Witt and J.A. Wheeler), Benjamin, New York.
- 13 - M. Gleiser, R. Holman e N.P. Neto, " First Order Formalism for Quantum Gravity ", Nucl. Phys. B294, 1164 (1987).
- 14 - P.A.M. Dirac, " Lectures in Quantum Mechanics ", ( Yeshiva Univ. Press, New York, 1962).
- 15 - R. Arnowitt, S. Deser e C.W. Misner in " Gravitation : An Introduction to Current Research ", L. Witten, Ed. ( Wiley, NY 1962).
- 16 - C.W. Misner, K.S. Thorne e J.A. Wheeler, " Gravitation ", (W.H. Freeman and Company, New York, 1973)
- 17 - L. Landau e E. Lifshitz, " Teoria do Campo ", (Editora MIR, Moscow, 1980), 353-356.

- 18 - K. Kuchar, " Canonical Quantization of Gravity ", in " Relativity, Astrophysics and Cosmology ", W. Israel, (D. Reidel Publishing Company, Dordrecht-Holland 1973).
- 19 - S. Goldberg, "Curvature and Homology", (Dover Publications, Inc. , New York, pag. 115).
- 20 - J.W. York Jr. e N. O' Murchadha, " Existence and Uniqueness of Solutions of the Hamiltonian Constraint of General Relativity on Compact Manifolds ", *J. Math. Phys.* 14, 1551, (1973).
- 21 - M.P. Ryan, " The Mini-superspace ", notas da VI Escola Brasileira de Cosmologia e Gravitação, ed M. Novello.
- 22 - J.B. Hartle e S.W. Hawking, " The Wave Function of the Universe ", *Phys. Rev.* D28, 2960, (1983).
- 23 - A. Vilenkin, " Boundary Conditions in Quantum Cosmology ", *Phys. Rev.* D33 , 3560, (1986).
- 24 - J. Wudka, "Boundary Conditions and Cosmological Constante", *Phys. Rev.* D36 , 1036, (1987).
- 25 - J. Zanelli e T. Christodoulakis, " Canonical Approach to Quantum Gravity ", *Class. Quantum Grav.* 4, 851 (1987).
- 26 - S.W. Hawking e D.N. Page, " Operator Ordering and the the Flatness of the Universe ", *Nucl. Phys.* B, 264, 185, (1986).

"FORMALISMO DE PRIMEIRA ORDEM E SUAS APLICAÇÕES PARA A  
QUANTIZAÇÃO CANÔNICA DA GRAVITAÇÃO"

NELSON PINTO NETO

Tese de Mestrado apresentada no Centro  
Brasileiro de Pesquisas Físicas do Con-  
selho Nacional de Desenvolvimento Cien-  
tífico e Tecnológico, fazendo parte da  
Banca Examinadora os seguintes profes-  
sores:

*Nelson Pinto Neto*

Nelson Pinto Neto - Presidente

*João Barcelos Neto*

*Ivano Damião Soares*

Rio de Janeiro, 05 de outubro de 1990